# Approche multimodèle pour l'estimation et la tolérance aux fautes

Marx

Centre de Recherche en Automatique de Nancy UMR 7039 CNRS - Université de Lorraine







## Plan de la présentation

#### Introduction aux multimodèles

Introduction intuitive des MM
Tentative de classification des MM
Comment obtenir un MM?

#### Stabilité, contrôle, observation de MM

Principe de base Quelques raffinements

#### Estimation d'état de MM

Principe de base Estimation des MM à VPNM Estimation conjointe état / paramètres Quelques remarques

#### Tolérance aux défauts

Suivi de référence malgré un défaut Retour de sortie malgré une commande saturée

#### Conclusion

#### Section 1

#### Introduction aux multimodèles

#### Introduction aux multimodèles

Introduction intuitive des MM
Tentative de classification des MM
Comment obtenir un MM?

Stabilité, contrôle, observation de MM

Estimation d'état de MM

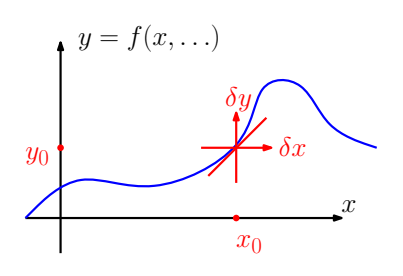
Tolérance aux défauts

Conclusion

# ► Objectif:

manipuler un système non linéaire :  $\dot{x}(t) = f(x(t), u(t))$  avec des méthodes proches de celles des systèmes linéaires

- ▶ Objectif: manipuler un système non linéaire :  $\dot{x}(t) = f(x(t), u(t))$ avec des méthodes proches de celles des systèmes linéaires
- ► Linéarisation autour d'un point d'équilibre



$$\Rightarrow \dot{\delta x}(t) = A\delta x(t) + B\delta u(t)$$

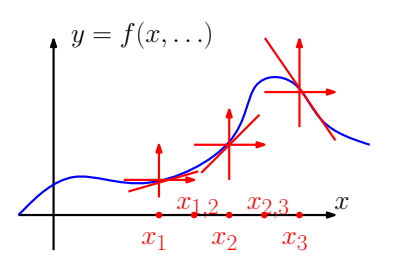
#### Modèle LTI:

- + simple
- approximation
- local

# ▶ **Objectif**: manipuler un système non linéaire : $\dot{x}(t) = f(x(t), u(t))$

► Linéarisation autour de plusieurs points et commutation

avec des méthodes proches de celles des systèmes linéaires



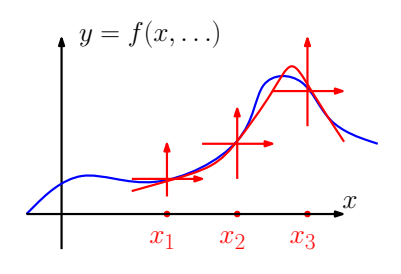
$$\Rightarrow \dot{x}(t) = A_{\sigma}x(t) + B_{\sigma}u(t) + f_{i}$$
avec  $\sigma = i$  pour  $x_{i-1,i} < x < x_{i,i+1}$ 

#### Modèle commuté :

- + global
- non linéaire
- approximation

## ▶ Objectif: manipuler un système non linéaire : $\dot{x}(t) = f(x(t), u(t))$ avec des méthodes proches de celles des systèmes linéaires

► Linéarisation autour de plusieurs points et pondération



$$\Rightarrow \dot{x}(t) = \sum_{i=1}^{r} \mu_i(x) (A_i x(t) + B_i u(t) + f_i)$$

$$\text{avec } \mu_i(x) \simeq \textit{dist}(x, x_i)$$

#### Multimodèle:

- global
- non linéaire
- ? approximation

$$\dot{x}(t) = \sum_{i=1}^{r} \mu_i(z(t)) \left( A_i x(t) + B_i u(t) \right)$$

$$r$$
 nombre de sous-modèles  $(A_i, B_i)$  sous-modèle  $\dot{x}(t) = \sum_{i=1}^r \mu_i(z(t)) \left(A_i x(t) + B_i u(t)\right)$   $\mu_i$  fonction d'activation  $z$  variable de prémisse

$$r$$
 nombre de sous-modèles  $(A_i,B_i)$  sous-modèle 
$$\dot{x}(t) = \sum_{i=1}^r \mu_i(z(t)) \left(A_i x(t) + B_i u(t)\right)$$
  $\mu_i$  fonction d'activation  $z$  variable de prémisse

- Variables de prémisse (VP)
  - connues (entrée u, sortie y)
  - ▶ inconnues (état x, défaut)

$$r$$
 nombre de sous-modèles  $(A_i,B_i)$  sous-modèle  $\dot{x}(t) = \sum_{i=1}^r \mu_i(z(t)) \left(A_i x(t) + B_i u(t)\right)$   $\mu_i$  fonction d'activation  $z$  variable de prémisse

- Variables de prémisse (VP)
  - ► connues (entrée *u*, sortie *y*)
  - inconnues (état x, défaut)
- Fonctions d'activation (FA) vérifiant les propriétés de somme convexe
  - ▶ positivité :  $0 \le \mu_i(z(t)) \le 1$
  - somme unitaire :  $\sum_{i=1}^{\gamma} \overline{\mu_i}(z(t)) = 1$

$$r$$
 nombre de sous-modèles  $(A_i,B_i)$  sous-modèle  $\dot{x}(t) = \sum_{i=1}^r \mu_i(z(t)) \left(A_i x(t) + B_i u(t)\right)$   $\mu_i$  fonction d'activation  $z$  variable de prémisse

- Variables de prémisse (VP)
  - connues (entrée u, sortie y)
  - ▶ inconnues (état x, défaut)
- Fonctions d'activation (FA) vérifiant les propriétés de somme convexe
  - ▶ positivité :  $0 \le \mu_i(z(t)) \le 1$
  - somme unitaire :  $\sum_{i=1}^{r} \mu_i(z(t)) = 1$
- Liens avec d'autres modèles
  - ▶ Si  $\mu_i(z(t)) \in \{0;1\}$   $\rightarrow$  systèmes linéaires commutés (discret)  $\blacktriangleright \sum_{i=1}^r \mu_i(z(t)) A_i \simeq A(\theta(t))$   $\rightarrow$  systèmes LPV

# Tentative de classification des MM : homogènes / découplés (1)

▶ Espace d'état commun à tous les sous-modèles :  $x(t) \in \mathbb{R}^n$ modèle polytopique, homogène, de Takagi-Sugeno<sup>1</sup>

$$\begin{cases} \dot{x}(t) = \sum_{i=1}^{r} \mu_{i}(z(t)) (A_{i}x(t) + B_{i}u(t)) \\ y(t) = \sum_{i=1}^{r} \mu_{i}(z(t)) (C_{i}x(t) + D_{i}u(t)) \end{cases}$$

<sup>1.</sup> Takagi, Sugeno, Fuzzy identification of systems and its application to modelling and control. IEEE Trans. on Systems, Man, and Cybernetics, 15, 116-132, 1985.

<sup>2.</sup> Filey. Fuzzy modeling of complex systems. Int. J. of Approximate Reasoning, 5(3), 281-290,1991

# Tentative de classification des MM : homogènes / découplés (1)

▶ Espace d'état commun à tous les sous-modèles :  $x(t) \in \mathbb{R}^n$ modèle polytopique, homogène, de Takagi-Sugeno 1

$$\begin{cases} \dot{x}(t) = \sum_{i=1}^{r} \mu_{i}(z(t))(A_{i}x(t) + B_{i}u(t)) \\ y(t) = \sum_{i=1}^{r} \mu_{i}(z(t))(C_{i}x(t) + D_{i}u(t)) \end{cases}$$

▶ Espaces d'état distincts propres à chaque sous-modèle :  $x_i(t) \in \mathbb{R}^{n_i}$ multimodèles découplés<sup>2</sup>

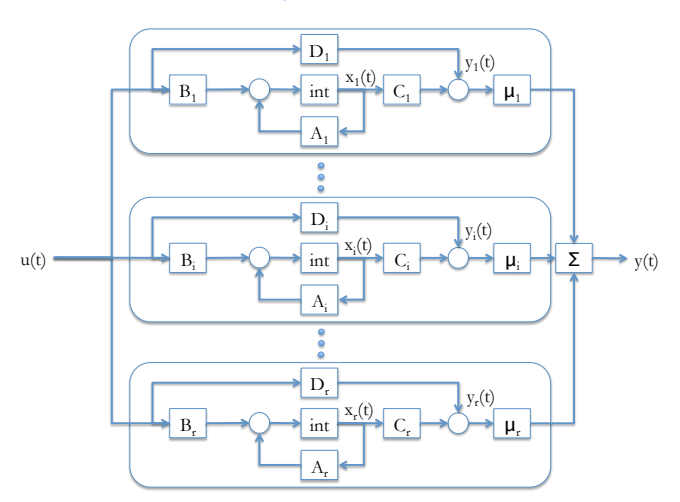
$$\begin{cases} \dot{x}_i(t) = A_i x_i(t) + B_i u(t) \\ y_i(t) = C_i x_i(t) + D_i u(t) \\ y(t) = \sum_{i=1}^r \mu_i(z(t)) y_i(t) \end{cases}$$

<sup>1.</sup> Takagi, Sugeno, Fuzzy identification of systems and its application to modelling and control. IEEE Trans. on Systems, Man, and Cybernetics, 15, 116-132, 1985.

<sup>2.</sup> Filey. Fuzzy modeling of complex systems. Int. J. of Approximate Reasoning, 5(3), 281-290,1991

# Tentative de classification des MM : homogènes / découplés (2)

#### Structure des multimodèles découplés



- un vecteur d'état  $x_i(t)$  par sous-modèle  $(A_i, B_i, C_i, D_i)$
- ▶ interpolation des équations statiques de sortie :  $y(t) = \sum_i \mu_i(z(t))y_i(t)$

Les variables de prémisse z(t) dépendant

- ightharpoonup de grandeurs mesurées : entrée u(t), sortie y(t), etc
- ▶ de grandeurs non mesurées : état x(t), etc

Les variables de prémisse z(t) dépendant

- ightharpoonup de grandeurs mesurées : entrée u(t), sortie y(t), etc
- ▶ de grandeurs non mesurées : état x(t), etc

Le cas de variable de prémisse non mesurables

est plus complexe, par exemple pour l'estimation d'état

$$\begin{cases} \dot{x}(t) = \sum_{i} \mu_{i}(x(t)) \left( A_{i}x(t) + B_{i}u(t) \right) \\ \dot{\hat{x}}(t) = \sum_{i} \mu_{i}(\hat{x}(t)) \left( A_{i}\hat{x}(t) + B_{i}u(t) + K_{i}(y(t) - \hat{y}(t)) \right) \end{cases}$$

Les variables de prémisse z(t) dépendant

- ightharpoonup de grandeurs mesurées : entrée u(t), sortie y(t), etc
- ▶ de grandeurs non mesurées : état x(t), etc

Le cas de variable de prémisse non mesurables

est plus complexe, par exemple pour l'estimation d'état

$$\begin{cases} \dot{x}(t) = \sum_{i} \mu_{i}(x(t)) \left( A_{i}x(t) + B_{i}u(t) \right) \\ \dot{\hat{x}}(t) = \sum_{i} \mu_{i}(\hat{x}(t)) \left( A_{i}\hat{x}(t) + B_{i}u(t) + K_{i}(y(t) - \hat{y}(t)) \right) \end{cases}$$

donc moins étudié

Les variables de prémisse z(t) dépendant

- ightharpoonup de grandeurs mesurées : entrée u(t), sortie y(t), etc
- ▶ de grandeurs non mesurées : état x(t), etc

Le cas de variable de prémisse non mesurables

est plus complexe, par exemple pour l'estimation d'état

$$\begin{cases} \dot{x}(t) = \sum_{i} \mu_{i}(x(t)) \left( A_{i}x(t) + B_{i}u(t) \right) \\ \dot{x}(t) = \sum_{i} \mu_{i}(\hat{x}(t)) \left( A_{i}\hat{x}(t) + B_{i}u(t) + K_{i}(y(t) - \hat{y}(t)) \right) \end{cases}$$

- donc moins étudié
- ▶ bien que naturel (cf exemple précédent :  $\mu_i(x) \simeq dist(x, x_i)$ )

- ▶ Basé données : identification 3 4
  - données : entrées / sorties
  - choisir : la structure du MM (découplé / TS), les VP (z(t)), les FA ( $\mu_i$ ), ...
  - résolution : minimisation non linéaire de l'erreur de modélisation

<sup>3.</sup> Gasso, Mourot, Ragot, Prévision des maxima journaliers d'ozone, approche multimodèle, Journal Européen des Systèmes Automatisés, 39 (4), p. 513-532, 2005

<sup>4.</sup> Orjuela, Marx, Maguin, Ragot. Nonlinear system identification using heterogeneous multiple models, International Journal of Applied Mathematics and Computer Science, 23 (1), 2013

<sup>5.</sup> Tanaka, Wang, Fuzzy Control System Design and Analysis: A Linear Matrix Inequality Approach, Wiley, 2001

- ▶ Basé données : identification 3 4
  - données : entrées / sorties
  - **choisir**: la structure du MM (découplé / TS), les VP (z(t)), les FA ( $\mu_i$ ), ...
  - résolution : minimisation non linéaire de l'erreur de modélisation

#### Basé modèle : linéarisations en plusieurs points

- données : le modèle non linéaire
- choisir : les points de linéarisation et les fonctions d'activation
- résolution : approximation par développements de Taylor du modèle

<sup>3.</sup> Gasso, Mourot, Ragot, Prévision des maxima journaliers d'ozone, approche multimodèle, Journal Européen des Systèmes Automatisés, 39 (4), p. 513-532, 2005

<sup>4.</sup> Orjuela, Marx, Maguin, Ragot. Nonlinear system identification using heterogeneous multiple models, International Journal of Applied Mathematics and Computer Science, 23 (1), 2013

<sup>5.</sup> Tanaka, Wang, Fuzzy Control System Design and Analysis: A Linear Matrix Inequality Approach, Wiley, 2001

- ► Basé données : identification 3 4
  - données : entrées / sorties
  - ▶ choisir : la structure du MM (découplé / TS), les VP (z(t)), les FA ( $\mu_i$ ), ...
  - résolution : minimisation non linéaire de l'erreur de modélisation

#### Basé modèle : linéarisations en plusieurs points

- données : le modèle non linéaire
- choisir : les points de linéarisation et les fonctions d'activation
- résolution : **approximation** par développements de Taylor du modèle

## ▶ Basé modèle : ré-écriture polytopique <sup>5</sup>

- données : le modèle non linéaire
- ▶ hypothèses : non-linéarités bornées ou x(t) dans à un compact de  $\mathbb{R}^n$
- résolution : ré-écriture MM exacte des équations du modèle

<sup>3.</sup> Gasso, Mourot, Ragot, Prévision des maxima journaliers d'ozone, approche multimodèle, Journal Européen des Systèmes Automatisés, 39 (4), p. 513-532, 2005

<sup>4.</sup> Orjuela, Marx, Maquin, Ragot. Nonlinear system identification using heterogeneous multiple models, *International Journal of Applied Mathematics and Computer Science*, 23 (1), 2013

<sup>5.</sup> Tanaka, Wang, Fuzzy Control System Design and Analysis: A Linear Matrix Inequality Approach, Wiley, 2001

- ▶ Basé données : identification 3 4
  - données : entrées / sorties
  - ▶ choisir : la structure du MM (découplé / TS), les VP (z(t)), les FA ( $\mu_i$ ), ...
  - résolution : minimisation non linéaire de l'erreur de modélisation

#### Basé modèle : linéarisations en plusieurs points

- données : le modèle non linéaire
- choisir : les points de linéarisation et les fonctions d'activation
- résolution : **approximation** par développements de Taylor du modèle
- Basé modèle : ré-écriture polytopique<sup>5</sup>
  - données : le modèle non linéaire
  - ▶ hypothèses : non-linéarités bornées ou x(t) dans à un compact de  $\mathbb{R}^n$
  - résolution : ré-écriture MM exacte des équations du modèle

<sup>3.</sup> Gasso, Mourot, Ragot, Prévision des maxima journaliers d'ozone, approche multimodèle, Journal Européen des Systèmes Automatisés, 39 (4), p. 513-532, 2005

<sup>4.</sup> Orjuela, Marx, Maquin, Ragot. Nonlinear system identification using heterogeneous multiple models, *International Journal of Applied Mathematics and Computer Science*, 23 (1), 2013

<sup>5.</sup> Tanaka, Wang, Fuzzy Control System Design and Analysis: A Linear Matrix Inequality Approach, Wiley, 2001

▶ On considère le système non linéaire

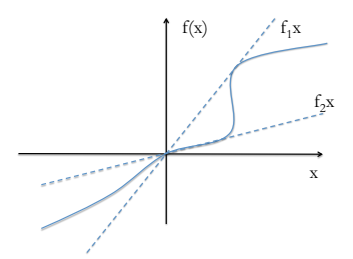
$$\dot{x}(t) = f(x(t))$$
 avec  $f(0) = 0$ 

On considère le système non linéaire

$$\dot{x}(t) = f(x(t))$$
 avec  $f(0) = 0$ 

▶ Il est possible de trouver des bornes  $f_1$  et  $f_2$  telles que

$$f_2x \leq f(x) \leq f_1x, \forall x$$

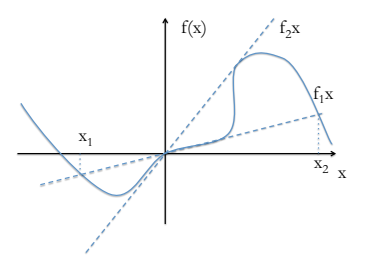


On considère le système non linéaire

$$\dot{x}(t) = f(x(t))$$
 avec  $f(0) = 0$ 

▶ Il est possible de trouver des bornes f₁ et f₂ telles que

$$f_2x \leq f(x) \leq f_1x, \forall x$$



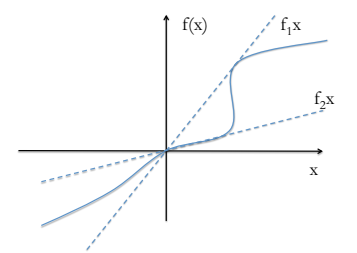
(ou au moins localement pour  $x_1 \le x(t) \le x_2$ )

On considère le système non linéaire

$$\dot{x}(t) = f(x(t))$$
 avec  $f(0) = 0$ 

▶ Il est possible de trouver des bornes  $f_1$  et  $f_2$  telles que

$$f_2x \leq f(x) \leq f_1x, \forall x$$



▶ On peut alors écrire :

$$\dot{x}(t) = \left(\frac{f(x)/x - f_2}{f_1 - f_2}\right) f_1 x(t) + \left(\frac{f_1 - f(x)/x}{f_1 - f_2}\right) f_2 x(t)$$

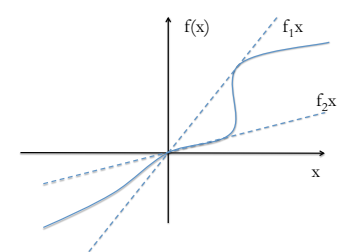


On considère le système non linéaire

$$\dot{x}(t) = f(x(t))$$
 avec  $f(0) = 0$ 

▶ Il est possible de trouver des bornes  $f_1$  et  $f_2$  telles que

$$f_2x \leq f(x) \leq f_1x, \forall x$$



► On peut alors écrire :

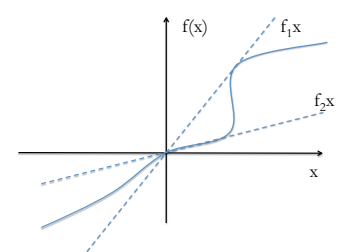
$$\dot{x}(t) = \underbrace{\left(\frac{f(x)/x - f_2}{f_1 - f_2}\right)}_{\mu_1(x)} \underbrace{f_1}_{A_1} x(t) + \underbrace{\left(\frac{f_1 - f(x)/x}{f_1 - f_2}\right)}_{\mu_2(x)} \underbrace{f_2}_{A_2} x(t)$$

On considère le système non linéaire

$$\dot{x}(t) = f(x(t))$$
 avec  $f(0) = 0$ 

▶ Il est possible de trouver des bornes  $f_1$  et  $f_2$  telles que

$$f_2x \leq f(x) \leq f_1x, \forall x$$



▶ On peut alors écrire :

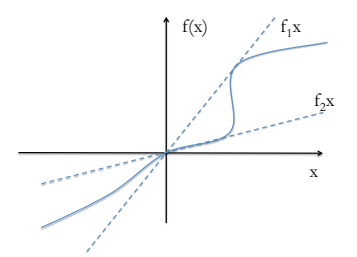
$$\dot{x}(t) = \sum_{i=1}^{2} \mu_i(x(t)) A_i x(t)$$

On considère le système non linéaire

$$\dot{x}(t) = f(x(t))$$
 avec  $f(0) = 0$ 

▶ Il est possible de trouver des bornes f₁ et f₂ telles que

$$f_2x \leq f(x) \leq f_1x, \forall x$$



► Pour résumer :

$$\underbrace{\dot{x} = f(x, u)}_{SNL} \Rightarrow \underbrace{\dot{x} = A(x, u)x + B(x, u)u}_{aLPV} \Rightarrow \underbrace{\dot{x} = \sum_{i} \mu_{i}(A_{i}x + B_{i}u)}_{T-S}$$

Un système non linéaire à entrée saturée :

$$\dot{x}(t) = -0.5x + \sin(x(t))u(t), \ avec \ -1 \le u(t) \le 1$$

▶ On choisit la VP :  $z(t) = (\sin(x(t))u(t))/(x(t)) \in [-1 \ 1].$ 

$$Z(t) = \underbrace{\left(\frac{Z(t) - (-1)}{2}\right)}_{\mu_1(Z(t))} (1) + \underbrace{\left(\frac{1 - Z(t)}{2}\right)}_{\mu_2(Z(t))} (-1)$$

Un système non linéaire à entrée saturée :

$$\dot{x}(t) = -0.5x + \sin(x(t))u(t), \ avec \ -1 \le u(t) \le 1$$

▶ On choisit la VP :  $z(t) = (\sin(x(t))u(t))/(x(t)) \in [-1 \ 1].$ 

$$z(t) = \underbrace{\left(\frac{z(t) - (-1)}{2}\right)}_{\mu_1(z(t))} (1) + \underbrace{\left(\frac{1 - z(t)}{2}\right)}_{\mu_2(z(t))} (-1)$$

Le système devient

$$\dot{x}(t) = (-0.5 + \mu_1(z(t))(1) + \mu_2(z(t))(-1))x(t)$$

Un système non linéaire à entrée saturée :

$$\dot{x}(t) = -0.5x + \sin(x(t))u(t), \ avec \ -1 \le u(t) \le 1$$

▶ On choisit la VP :  $z(t) = (\sin(x(t))u(t))/(x(t)) \in [-1 \ 1].$ 

$$Z(t) = \underbrace{\left(\frac{Z(t) - (-1)}{2}\right)}_{\mu_1(Z(t))} (1) + \underbrace{\left(\frac{1 - Z(t)}{2}\right)}_{\mu_2(Z(t))} (-1)$$

Le système devient

$$\dot{x}(t) = (\mu_1(z(t))(0.5) + \mu_2(z(t))(-1.5))x(t)$$

Un système non linéaire à entrée saturée :

$$\dot{x}(t) = -0.5x + \sin(x(t))u(t), \ avec \ -1 \le u(t) \le 1$$

▶ On choisit la VP :  $z(t) = (\sin(x(t))u(t))/(x(t)) \in [-1 \ 1].$ 

$$Z(t) = \underbrace{\left(\frac{Z(t) - (-1)}{2}\right)}_{\mu_1(Z(t))} (1) + \underbrace{\left(\frac{1 - Z(t)}{2}\right)}_{\mu_2(Z(t))} (-1)$$

Le système devient

$$\dot{x}(t) = (\mu_1(z(t))(0.5) + \mu_2(z(t))(-1.5))x(t)$$

On a un MM:

$$\dot{x}(t) = \sum_{i=1}^{r} \mu_i(z(t)) (A_i x(t) + B_i u(t))$$

$$A_1 = 0.5 \quad A_2 = -1.5 \quad B_1 = B_2 = 0$$

Un système non linéaire à entrée saturée :

$$\dot{x}(t) = -0.5x + \sin(x(t))u(t), \ avec \ -1 \le u(t) \le 1$$

▶ On choisit la VP :  $z(t) = \frac{\sin(x(t))u(t)}{x(t)} \in [-1 \ 1].$ 

$$z(t) = \underbrace{\left(\frac{z(t) - (-1)}{2}\right)}_{\mu_1(z(t))} (1) + \underbrace{\left(\frac{1 - z(t)}{2}\right)}_{\mu_2(z(t))} (-1)$$

Le système devient

$$\dot{x}(t) = (\mu_1(z(t))(0.5) + \mu_2(z(t))(-1.5))x(t)$$

On a un MM:

$$\dot{x}(t) = \sum_{i=1}^{r} \mu_i(z(t)) (A_i x(t) + B_i u(t))$$

$$A_1 = 0.5 \quad A_2 = -1.5 \quad B_1 = B_2 = 0$$

$$A_1 = 0.5$$
  $A_2 = -1.5$   $B_1 = B_2 = 0$ 

• système instable ( $A_1 > 0$ ) sous-modèles non commandable ( $B_i = 0$ )

Un système non linéaire à entrée saturée :

$$\dot{x}(t) = -0.5x + \sin(x(t))u(t)$$
, avec  $-1 \le u(t) \le 1$ 

▶ On choisit comme VP :  $z(t) = \sin(x(t)) \in [-1 \ 1]$ .

$$z(t) = \underbrace{\left(\frac{z(t) - (-1)}{2}\right)}_{\mu_1(z(t))} (1) + \underbrace{\left(\frac{1 - z(t)}{2}\right)}_{\mu_2(z(t))} (-1)$$

## Transformation polytopique: exemple

Un système non linéaire à entrée saturée :

$$\dot{x}(t) = -0.5x + \sin(x(t))u(t)$$
, avec  $-1 \le u(t) \le 1$ 

▶ On choisit comme VP :  $z(t) = \sin(x(t)) \in [-1 \ 1]$ .

$$Z(t) = \underbrace{\left(\frac{Z(t) - (-1)}{2}\right)}_{\mu_1(Z(t))} (1) + \underbrace{\left(\frac{1 - Z(t)}{2}\right)}_{\mu_2(Z(t))} (-1)$$

Le système devient

$$\dot{x}(t) = -0.5x(t) + (\mu_1(z(t))(1) + \mu_2(z(t))(-1)) u(t)$$

# Transformation polytopique: exemple

Un système non linéaire à entrée saturée :

$$\dot{x}(t) = -0.5x + \sin(x(t))u(t), \ avec \ -1 \le u(t) \le 1$$

▶ On choisit comme VP :  $z(t) = \sin(x(t)) \in [-1 \ 1]$ .

$$z(t) = \underbrace{\left(\frac{z(t) - (-1)}{2}\right)}_{\mu_1(z(t))} (1) + \underbrace{\left(\frac{1 - z(t)}{2}\right)}_{\mu_2(z(t))} (-1)$$

Le système devient

$$\dot{x}(t) = -0.5x(t) + (\mu_1(z(t))(1) + \mu_2(z(t))(-1)) u(t)$$

On a un MM:

$$\dot{x}(t) = \sum_{i=1}^{r} \mu_i(z(t)) (A_i x(t) + B_i u(t))$$

$$A_1 = A_2 = -0.5 \quad B_1 = 1 \quad B_2 = -1$$

# Transformation polytopique: exemple

Un système non linéaire à entrée saturée :

$$\dot{x}(t) = -0.5x + \sin(x(t))u(t), \ avec \ -1 \le u(t) \le 1$$

▶ On choisit comme VP :  $z(t) = \sin(x(t)) \in [-1 \ 1]$ .

$$Z(t) = \underbrace{\left(\frac{Z(t) - (-1)}{2}\right)}_{\mu_1(Z(t))} (1) + \underbrace{\left(\frac{1 - Z(t)}{2}\right)}_{\mu_2(Z(t))} (-1)$$

Le système devient

$$\dot{x}(t) = -0.5x(t) + (\mu_1(z(t))(1) + \mu_2(z(t))(-1)) u(t)$$

On a un MM:

$$\dot{x}(t) = \sum_{i=1}^{r} \mu_i(z(t))(A_ix(t) + B_iu(t))$$

$$A_1 = A_2 = -0.5 \quad B_1 = 1 \quad B_2 = -1$$

▶ système stable ( $\exists P > 0$  t.q.  $PA_i + (PA_i)^T < 0$ ) sous-modèles commandables

## Transformation polytopique: avantages / inconvénients

- le choix des variables de décision n'est pas unique ;
- les variables d'état apparaissent souvent dans les variables de décision ;
- nombre de sous-modèles :  $r = 2^{n_z}$ , où  $n_z$  est le nombre de VP :

13/39

<sup>6.</sup> Nagy, Mourot, Marx, Ragot, Schutz, Systematic multi-modeling methodology applied to an activated sludge reactor model. Industrial & Engineering Chemistry Research, 46(6), 2790-2799.

# Transformation polytopique : avantages / inconvénients

- le choix des variables de décision n'est pas unique ;
- les variables d'état apparaissent souvent dans les variables de décision ;
- nombre de sous-modèles :  $r = 2^{n_z}$ , où  $n_z$  est le nombre de VP :
- + la TP est toujours possible, au moins sur un compact de l'espace d'état.
- + la TP est une ré-écriture exacte du modèle non linéaire ;

13/39

<sup>6.</sup> Nagy, Mourot, Marx, Ragot, Schutz, Systematic multi-modeling methodology applied to an activated sludge reactor model. Industrial & Engineering Chemistry Research, 46(6), 2790-2799. 4 □ ▶ 4 周 ▶ 4 ■ ▶ 4 ■ ▶ 9 Q ○

## Transformation polytopique: avantages / inconvénients

- le choix des variables de décision n'est pas unique;
- les variables d'état apparaissent souvent dans les variables de décision;
- nombre de sous-modèles :  $r = 2^{n_z}$ , où  $n_z$  est le nombre de VP;
- + la TP est toujours possible, au moins sur un compact de l'espace d'état.
- + la TP est une ré-écriture exacte du modèle non linéaire ;
- +/- ré-écritures exactes -donc équivalentes- donnant des résultats différents <sup>6</sup>.

<sup>6.</sup> Nagy, Mourot, Marx, Ragot, Schutz, Systematic multi-modeling methodology applied to an activated sludge reactor model, *Industrial & Engineering Chemistry Research*, 46(6), 2790-2799, 2010

#### Section 2

## Stabilité, contrôle, observation de MM

Introduction aux multimodèles

Stabilité, contrôle, observation de MM Principe de base Quelques raffinements

Estimation d'état de MM

Tolérance aux défauts

Conclusion

### Objectif:

stabiliser le MM : 
$$\dot{x}(t) = \sum_{i=1}^{r} \mu_i(z(t)) (A_i x(t) + B_i u(t))$$

avec le retour d'état : 
$$u(t) = \sum_{i=1}^{r} \mu_{i}(z(t))F_{i}x(t)$$

### Objectif:

stabiliser le MM : 
$$\dot{x}(t) = \sum_{i=1}^r \mu_i(z(t))(A_ix(t) + B_iu(t))$$

avec le retour d'état : 
$$u(t) = \sum_{i=1}^{t} \mu_i(z(t)) F_i x(t)$$

#### ▶ Démarche :

► fonction de Lyapunov : 
$$V(x(t)) = x^T(t)Px(t)$$
, où  $P > 0$ 

stabilisation 
$$\Leftrightarrow \dot{V}(x(t)) < 0$$

### Objectif:

stabiliser le MM : 
$$\dot{x}(t) = \sum_{i=1}^r \mu_i(z(t))(A_ix(t) + B_iu(t))$$

avec le retour d'état : 
$$u(t) = \sum_{i=1}^{r} \mu_{i}(z(t))F_{i}x(t)$$

#### Démarche :

► fonction de Lyapunov :  $V(x(t)) = x^{T}(t)Px(t)$ , où P > 0

$$x^{T}\left(P\sum_{i=1}^{r}\sum_{j=1}^{r}\mu_{i}\mu_{j}(A_{i}+B_{i}F_{j})+\left(...\right)^{T}\right)x<0$$

### Objectif:

stabiliser le MM : 
$$\dot{x}(t) = \sum_{i=1}^r \mu_i(z(t)) (A_i x(t) + B_i u(t))$$

avec le retour d'état : 
$$u(t) = \sum_{i=1}^{r} \mu_{i}(z(t))F_{i}x(t)$$

#### Démarche :

► fonction de Lyapunov :  $V(x(t)) = x^{T}(t)Px(t)$ , où P > 0

$$\sum_{i=1}^{r} \sum_{i=1}^{r} \mu_{i} \mu_{j} \left( x^{T} \left( \mathbf{P} (\mathbf{A}_{i} + \mathbf{B}_{i} \mathbf{F}_{j}) + (\mathbf{A}_{i} + \mathbf{B}_{i} \mathbf{F}_{j})^{T} \mathbf{P} \right) x \right) < 0$$

### Objectif:

stabiliser le MM : 
$$\dot{x}(t) = \sum_{i=1}^r \mu_i(z(t)) (A_i x(t) + B_i u(t))$$

avec le retour d'état : 
$$u(t) = \sum_{i=1}^{r} \mu_i(z(t)) F_i x(t)$$

### ► Démarche :

- ► fonction de Lyapunov :  $V(x(t)) = x^T(t)Px(t)$ , où P > 0
- convexité et positivité des FA :  $0 \le \mu_i(z(t)) \le 1$

$$\sum_{i=1}^{r} \sum_{i=1}^{r} \mu_{i} \mu_{j} \left( \boldsymbol{x}^{T} \left( \boldsymbol{P} (\boldsymbol{A}_{i} + \boldsymbol{B}_{i} \boldsymbol{F}_{j}) + (\boldsymbol{A}_{i} + \boldsymbol{B}_{i} \boldsymbol{F}_{j})^{T} \boldsymbol{P} \right) \boldsymbol{x} \right) < 0$$

### Objectif:

stabiliser le MM : 
$$\dot{x}(t) = \sum_{i=1}^r \mu_i(z(t)) (A_i x(t) + B_i u(t))$$

avec le retour d'état : 
$$u(t) = \sum_{i=1}^{r} \mu_i(z(t)) F_i x(t)$$

#### Démarche :

- ► fonction de Lyapunov :  $V(x(t)) = x^T(t)Px(t)$ , où P > 0
- convexité et positivité des FA :  $0 \le \mu_i(z(t)) \le 1$
- ▶ inégalités matricielles sur les sommets A<sub>i</sub>, B<sub>i</sub>.

$$P(A_i + B_i F_j) + (A_i + B_i F_j)^T P < 0, \quad 1 \le i, j \le r$$

### Objectif:

stabiliser le MM : 
$$\dot{x}(t) = \sum_{i=1}^r \mu_i(z(t)) (A_i x(t) + B_i u(t))$$

avec le retour d'état : 
$$u(t) = \sum_{i=1}^{r} \mu_i(z(t)) F_i x(t)$$

#### Démarche :

- ► fonction de Lyapunov :  $V(x(t)) = x^T(t)Px(t)$ , où P > 0
- convexité et positivité des FA :  $0 \le \mu_i(z(t)) \le 1$
- inégalités matricielles sur les sommets A₁, B₁.
- ightharpoonup congruence, changements de variables, ... ightharpoonup LMI

$$(A_i + B_i F_i)X + X(A_i + B_i F_i)^T < 0$$
, avec  $X = P^{-1}$ 

### Objectif:

stabiliser le MM : 
$$\dot{x}(t) = \sum_{i=1}^r \mu_i(z(t))(A_ix(t) + B_iu(t))$$

avec le retour d'état : 
$$u(t) = \sum_{i=1}^{r} \mu_i(z(t)) F_i x(t)$$

#### Démarche :

- ► fonction de Lyapunov :  $V(x(t)) = x^T(t)Px(t)$ , où P > 0
- convexité et positivité des FA :  $0 \le \mu_i(z(t)) \le 1$
- inégalités matricielles sur les sommets A₁, B₁.
- ightharpoonup congruence, changements de variables, ... ightharpoonup LMI

$$(A_iX + B_i\tilde{F}_i) + (A_iX + B_i\tilde{F}_i)^T < 0$$
, avec  $\tilde{F}_i = F_iX$ 

### Objectif:

stabiliser le MM : 
$$\dot{x}(t) = \sum_{i=1}^r \mu_i(z(t)) (A_i x(t) + B_i u(t))$$

avec le retour d'état : 
$$u(t) = \sum_{i=1}^{r} \mu_i(z(t)) F_i x(t)$$

#### Démarche :

- ► fonction de Lyapunov :  $V(x(t)) = x^T(t)Px(t)$ , où P > 0
- ▶ convexité et positivité des FA :  $0 \le \mu_i(z(t)) \le 1$
- ▶ inégalités matricielles sur les sommets A<sub>i</sub>, B<sub>i</sub>.
- $\,\blacktriangleright\,$  congruence, changements de variables, ...  $\to$  LMI

#### ► Solution : conditions suffisantes LMI

 $\rightarrow u(t)$  stabilise le MM **si** il existe  $X = X^T > 0$  et  $\tilde{F}_i$  t.q., pour  $1 \le i, j \le r$ 

$$(A_iX + B_i\tilde{F}_j) + (A_iX + B_i\tilde{F}_j)^T < 0$$
, et  $F_i = \tilde{F}_iX^{-1}$ 

#### Quelques remarques:

+ même démarche pour :

- estimation d'état :  $\dot{V}(x(t) - \hat{x}(t)) < 0$ 

- gain  $\mathcal{L}_2$  borné :  $\dot{V}(t) + y^T(t)y(t) - \gamma^2 u^T(t)u(t) < 0$ 

– taux de décroissance :  $\dot{V}(t) + 2\alpha V(t) < 0$ 

#### Quelques remarques:

+ même démarche pour :

– estimation d'état :  $\dot{V}(x(t) - \hat{x}(t)) < 0$ 

– gain  $\mathcal{L}_2$  borné :  $\dot{V}(t) + y^T(t)y(t) - \gamma^2 u^T(t)u(t) < 0$ 

- taux de décroissance :  $\dot{V}(t) + 2\alpha V(t) < 0$ 

- + outils linéaires (LMI) pour systèmes non linéaires
- + solution constructive

#### Quelques remarques:

+ même démarche pour :

- estimation d'état :  $\dot{V}(x(t) - \hat{x}(t)) < 0$ 

– gain  $\mathcal{L}_2$  borné :  $\dot{V}(t) + y^T(t)y(t) - \gamma^2 u^T(t)u(t) < 0$ 

– taux de décroissance :  $\dot{V}(t) + 2\alpha V(t) < 0$ 

- + outils linéaires (LMI) pour systèmes non linéaires
- + solution constructive
- dépend uniquement des sommets
- nombre de LMI polynomial en r
- conditions suffisantes → conservatisme

# Quelques raffinements : V(x(t)) non quadratique

► Fonction polyquadratique <sup>7</sup>

$$V(x(t)) = \sum_{i=1}^{r} \mu_i(z(t)) x^{T}(t) P_i x(t)$$

<sup>7.</sup> Tanaka, Hori, Wang, A Multiple Lyapunov Function Approach to Stabilization of Fuzzy Control Systems, IEEE Tr. Fuzzy Systems, 11(4), 582-589, 2003

<sup>8.</sup> Guerra, Vermeiren, LMI-based relaxed non quadratic stabilization conditions for nonlinear systems in the Takagi-Sugeno's form, Automatica, 40, 823-829, 2004

<sup>9.</sup> Kruszewski, Wang, Guerra., Nonquadratic stabilization conditions for a class of uncertain nonlinear discrete-time TS fuzzy models: A new approach, IEEE Tr. Automatic Control. 53(2), 606-611. 2008

# Quelques raffinements : V(x(t)) non quadratique

► Fonction polyquadratique <sup>7</sup>

$$V(x(t)) = \sum_{i=1}^{r} \mu_i(z(t)) x^{T}(t) P_i x(t)$$

► Fonction non quadratique 8

$$V(x(t)) = x^{T}(t) \left( \sum_{i=1}^{r} \mu_{i}(z(t)) P_{i} \right)^{-1} x(t)$$

<sup>7.</sup> Tanaka, Hori, Wang, A Multiple Lyapunov Function Approach to Stabilization of Fuzzy Control Systems, *IEEE Tr. Fuzzy Systems*, 11(4), 582-589, 2003

<sup>8.</sup> Guerra, Vermeiren, LMI-based relaxed non quadratic stabilization conditions for nonlinear systems in the Takagi-Sugeno's form, *Automatica*, 40, 823-829, 2004

<sup>9.</sup> Kruszewski, Wang, Guerra., Nonquadratic stabilization conditions for a class of uncertain non-linear discrete-time TS fuzzy models: A new approach, *IEEE Tr. Automatic Control*, 53(2), 606-611, 2008

# Quelques raffinements : $\overline{V(x(t))}$ non quadratique

► Fonction polyquadratique <sup>7</sup>

$$V(x(t)) = \sum_{i=1}^{r} \mu_i(z(t)) x^{T}(t) P_i x(t)$$

Fonction non quadratique<sup>8</sup>

$$V(x(t)) = x^{T}(t) \left( \sum_{i=1}^{r} \mu_{i}(z(t)) P_{i} \right)^{-1} x(t)$$

▶ Cas discret : calculer la  $\Delta V(x(t))$  entre deux instants non consécutifs  $^9$ 

$$\Delta_k V(x(t)) = V(x(t+k)) - V(x(t))$$

<sup>7.</sup> Tanaka, Hori, Wang, A Multiple Lyapunov Function Approach to Stabilization of Fuzzy Control Systems, *IEEE Tr. Fuzzy Systems*, 11(4), 582-589, 2003

<sup>8.</sup> Guerra, Vermeiren, LMI-based relaxed non quadratic stabilization conditions for nonlinear systems in the Takagi-Sugeno's form, *Automatica*, 40, 823-829, 2004

<sup>9.</sup> Kruszewski, Wang, Guerra., Nonquadratic stabilization conditions for a class of uncertain non-linear discrete-time TS fuzzy models: A new approach, *IEEE Tr. Automatic Control*, 53(2), 606-611, 2008

# Quelques raffinements : mieux que $M_{ij} < 0 \Rightarrow \sum_{i} \sum_{i} M_{ij} < 0$

▶ Factorisation des termes en  $\mu_i \mu_i^{10 11}$ 

$$\frac{1}{r-1} \mathit{M}_{ii} + \frac{1}{2} (\mathit{M}_{ij} + \mathit{M}_{ji}) < 0$$

<sup>10.</sup> Tanaka, Ikeda, Wang, Fuzzy Regulators and Fuzzy Observers: Relaxed Stability Conditions and LMI-Based Designs, IEEE Tr. Fuzzy Systems, 6(2), 250-265, 1998

<sup>11.</sup> Tuan, Apkarian, Narikiyo et Yamamoto, Parameterized Linear Matrix Inequality Techniques in Fuzzy Control System Design, IEEE Tr. Fuzzy Systems, 9(2), 324-332, 2001

<sup>12.</sup> Sala, Arino, Asymptotically necessary and sufficient conditions for stability and performance in fuzzy control: Applications of Polya's theorem, Fuzzy Sets and Systems, 158, 2671-2686, 2007 13. F. Delmotte, Guerra, Ksantini, Continuous Takagi-Sugeno's models: reduction of the number

of LMI conditions in various fuzzy control design technics. IEEE Tr. Fuzzy Systems. 15(3), 426-438. 2007

# Quelques raffinements : mieux que $M_{ij} < 0 \Rightarrow \sum_{i} \sum_{i} M_{ij} < 0$

▶ Factorisation des termes en  $\mu_i \mu_i^{10 11}$ 

$$\frac{1}{r-1}M_{ii}+\frac{1}{2}(M_{ij}+M_{ji})<0$$

▶ Idem, mais après multiplication par  $\left(\sum_{i=1}^{r} \mu_i(z(t))\right)^{p}$  12

<sup>10.</sup> Tanaka, Ikeda, Wang, Fuzzy Regulators and Fuzzy Observers: Relaxed Stability Conditions and LMI-Based Designs, IEEE Tr. Fuzzy Systems, 6(2), 250-265, 1998

<sup>11.</sup> Tuan, Apkarian, Narikiyo et Yamamoto, Parameterized Linear Matrix Inequality Techniques in Fuzzy Control System Design, IEEE Tr. Fuzzy Systems, 9(2), 324-332, 2001

<sup>12.</sup> Sala, Arino, Asymptotically necessary and sufficient conditions for stability and performance in fuzzy control: Applications of Polya's theorem, Fuzzy Sets and Systems, 158, 2671-2686, 2007 13. F. Delmotte, Guerra, Ksantini, Continuous Takagi-Sugeno's models: reduction of the number

of LMI conditions in various fuzzy control design technics. IEEE Tr. Fuzzy Systems. 15(3), 426-438. 2007

# Quelques raffinements : mieux que $M_{ij} < 0 \Rightarrow \sum_i \sum_i M_{ij} < 0$

▶ Factorisation des termes en  $\mu_i \mu_i$  10 11

$$\frac{1}{r-1}M_{ii}+\frac{1}{2}(M_{ij}+M_{ji})<0$$

- ▶ Idem, mais après multiplication par  $\left(\sum_{i=1}^{r} \mu_i(z(t))\right)^{p}$  12
- Ajout de variables LMI supplémentaires pour découpler A<sub>i</sub> et P<sub>j</sub> <sup>13</sup> (comme en switché (de Oliveira et. al., 1999) ou (Daafouz et. al., 2002))

<sup>10.</sup> Tanaka, Ikeda, Wang, Fuzzy Regulators and Fuzzy Observers: Relaxed Stability Conditions and LMI-Based Designs, *IEEE Tr. Fuzzy Systems*, 6(2), 250-265, 1998

<sup>11.</sup> Tuan, Apkarian, Narikiyo et Yamamoto, Parameterized Linear Matrix Inequality Techniques in Fuzzy Control System Design, *IEEE Tr. Fuzzy Systems*, 9(2), 324-332, 2001

<sup>12.</sup> Sala, Arino, Asymptotically necessary and sufficient conditions for stability and performance in fuzzy control: Applications of Polya's theorem, *Fuzzy Sets and Systems*, 158, 2671-2686, 2007

13. F. Delmotte, Guerra, Ksantini, Continuous Takagi-Sugeno's models: reduction of the number

of LMI conditions in various fuzzy control design technics, IEEE Tr. Fuzzy Systems, 15(3), 426-438, 2007

Concaténation de relations dynamiques et statiques 14

$$\begin{cases} \dot{x}(t) = A_{\mu}x(t) + B_{\mu}u(t) \\ y(t) = C_{\mu}x(t) + D_{\mu}u(t) \\ u(t) = K_{\mu}y(t) \end{cases}$$

<sup>14.</sup> K. Tanaka, Ohtake, Wang, A descriptor system approach to fuzzy control system design via fuzzy Lyapunov functions, *IEEE Tr. Fuzzy Systems*, 15(3), 333-341, 2007

<sup>15.</sup> Mozelli, Palhares, Souza, Mendes, A systematic approach to improve multiple Lyapunov function stability and stabilization conditions for fuzzy systems, *Information Sciences*, 179, 1149-1162, 2009

Concaténation de relations dynamiques et statiques 14

$$\begin{cases} \dot{x}(t) = A_{\mu}x(t) + B_{\mu}u(t) \\ y(t) = C_{\mu}x(t) + D_{\mu}u(t) \\ u(t) = K_{\mu}y(t) \end{cases} \Rightarrow \underbrace{\begin{bmatrix} I & 0 & 0 \\ 0 & 0 & 0 \\ 0 & 0 & 0 \end{bmatrix}}_{E} \underbrace{\begin{pmatrix} \dot{x}(t) \\ \dot{u}(t) \\ \dot{y}(t) \end{pmatrix}}_{E} = \begin{bmatrix} A_{\mu} & B_{\mu} & 0 \\ 0 & -I & K_{\mu} \\ C_{\mu} & D_{\mu} & -I \end{bmatrix} \begin{pmatrix} x(t) \\ u(t) \\ y(t) \end{pmatrix}$$

$$\text{avec } V(t) = \bar{x}^{T}(t) P E \bar{x}(t) = x^{T}(t) P_{11}x(t)$$

<sup>14.</sup> K. Tanaka, Ohtake, Wang, A descriptor system approach to fuzzy control system design via fuzzy Lyapunov functions, IEEE Tr. Fuzzy Systems, 15(3), 333-341, 2007

<sup>15.</sup> Mozelli, Palhares, Souza, Mendes, A systematic approach to improve multiple Lyapunov function stability and stabilization conditions for fuzzy systems. Information Sciences. 179, 1149-1162. 2009

Concaténation de relations dynamiques et statiques <sup>14</sup>

$$\begin{cases} \dot{x}(t) = A_{\mu}x(t) + B_{\mu}u(t) \\ y(t) = C_{\mu}x(t) + D_{\mu}u(t) \\ u(t) = K_{\mu}y(t) \end{cases} \Rightarrow \underbrace{\begin{bmatrix} I & 0 & 0 \\ 0 & 0 & 0 \\ 0 & 0 & 0 \end{bmatrix}}_{E} \underbrace{\begin{pmatrix} \dot{x}(t) \\ \dot{u}(t) \\ \dot{y}(t) \end{pmatrix}}_{E} = \begin{bmatrix} A_{\mu} & B_{\mu} & 0 \\ 0 & -I & K_{\mu} \\ C_{\mu} & D_{\mu} & -I \end{bmatrix} \begin{pmatrix} x(t) \\ u(t) \\ y(t) \end{pmatrix}$$

avec 
$$V(t) = \bar{x}^T(t)PE\bar{x}(t) = x^T(t)P_{11}x(t)$$

Augmentation de l'état par sa dérivée 15

$$0 > \begin{pmatrix} \dot{x}(t) \\ x(t) \end{pmatrix}^{T} \underbrace{\begin{bmatrix} 0 & P \\ P & 0 \end{bmatrix}}_{=\dot{V}(x(t))} \begin{pmatrix} \dot{x}(t) \\ x(t) \end{pmatrix}$$

<sup>14.</sup> K. Tanaka, Ohtake, Wang, A descriptor system approach to fuzzy control system design via fuzzy Lyapunov functions, *IEEE Tr. Fuzzy Systems*, 15(3), 333-341, 2007

<sup>15.</sup> Mozelli, Palhares, Souza, Mendes, A systematic approach to improve multiple Lyapunov function stability and stabilization conditions for fuzzy systems, *Information Sciences*, 179, 1149-1162, 2009

Concaténation de relations dynamiques et statiques <sup>14</sup>

$$\begin{cases} \dot{x}(t) = A_{\mu}x(t) + B_{\mu}u(t) \\ y(t) = C_{\mu}x(t) + D_{\mu}u(t) \\ u(t) = K_{\mu}y(t) \end{cases} \Rightarrow \underbrace{\begin{bmatrix} I & 0 & 0 \\ 0 & 0 & 0 \\ 0 & 0 & 0 \end{bmatrix}}_{E} \underbrace{\begin{pmatrix} \dot{x}(t) \\ \dot{u}(t) \\ \dot{y}(t) \end{pmatrix}}_{E} = \begin{bmatrix} A_{\mu} & B_{\mu} & 0 \\ 0 & -I & K_{\mu} \\ C_{\mu} & D_{\mu} & -I \end{bmatrix} \begin{pmatrix} x(t) \\ u(t) \\ y(t) \end{pmatrix}$$

avec 
$$V(t) = \bar{x}^T(t)PE\bar{x}(t) = x^T(t)P_{11}x(t)$$

Augmentation de l'état par sa dérivée 15

$$0 > \begin{pmatrix} \dot{x}(t) \\ x(t) \end{pmatrix}^{T} \underbrace{\left( \begin{bmatrix} 0 & P \\ P & 0 \end{bmatrix} \right)}_{=\dot{V}(x(t))} + \underbrace{\begin{bmatrix} M_{1} \\ M_{2} \end{bmatrix} \begin{bmatrix} -I & A_{\mu} \end{bmatrix} + \begin{bmatrix} -I \\ A_{\mu} \end{bmatrix} \begin{bmatrix} M_{1}^{T} & M_{2}^{T} \end{bmatrix}}_{=0} \begin{pmatrix} \dot{x}(t) \\ x(t) \end{pmatrix}$$

<sup>14.</sup> K. Tanaka, Ohtake, Wang, A descriptor system approach to fuzzy control system design via fuzzy Lyapunov functions, *IEEE Tr. Fuzzy Systems*, 15(3), 333-341, 2007

<sup>15.</sup> Mozelli, Palhares, Souza, Mendes, A systematic approach to improve multiple Lyapunov function stability and stabilization conditions for fuzzy systems, *Information Sciences*, 179, 1149-1162, 2009

Concaténation de relations dynamiques et statiques <sup>14</sup>

$$\begin{cases} \dot{x}(t) = A_{\mu}x(t) + B_{\mu}u(t) \\ y(t) = C_{\mu}x(t) + D_{\mu}u(t) \\ u(t) = K_{\mu}y(t) \end{cases} \Rightarrow \underbrace{\begin{bmatrix} I & 0 & 0 \\ 0 & 0 & 0 \\ 0 & 0 & 0 \end{bmatrix}}_{E} \underbrace{\begin{pmatrix} \dot{x}(t) \\ \dot{u}(t) \\ \dot{y}(t) \end{pmatrix}}_{E} = \begin{bmatrix} A_{\mu} & B_{\mu} & 0 \\ 0 & -I & K_{\mu} \\ C_{\mu} & D_{\mu} & -I \end{bmatrix} \begin{pmatrix} x(t) \\ u(t) \\ y(t) \end{pmatrix}$$

avec 
$$V(t) = \bar{x}^T(t)PE\bar{x}(t) = x^T(t)P_{11}x(t)$$

Augmentation de l'état par sa dérivée 15

$$0 > \begin{pmatrix} \dot{x}(t) \\ x(t) \end{pmatrix}^{T} \underbrace{\left( \begin{bmatrix} 0 & P \\ P & 0 \end{bmatrix} \right)}_{=\dot{V}(x(t))} + \underbrace{\begin{bmatrix} M_{1} \\ M_{2} \end{bmatrix} \begin{bmatrix} -I & A_{\mu} \end{bmatrix} + \begin{bmatrix} -I \\ A_{\mu} \end{bmatrix} \begin{bmatrix} M_{1}^{T} & M_{2}^{T} \end{bmatrix} \right)}_{=0} \begin{pmatrix} \dot{x}(t) \\ x(t) \end{pmatrix}$$

- introduire des degrés de liberté
- ► découpler / linéariser K<sub>i</sub> et P<sub>i</sub>
- 14. K. Tanaka, Ohtake, Wang, A descriptor system approach to fuzzy control system design via fuzzy Lyapunov functions, *IEEE Tr. Fuzzy Systems*, 15(3), 333-341, 2007
- 15. Mozelli, Palhares, Souza, Mendes, A systematic approach to improve multiple Lyapunov function stability and stabilization conditions for fuzzy systems, *Information Sciences*, 179, 1149-1162, 2009

### Section 3

### Estimation d'état de MM

Introduction aux multimodèles

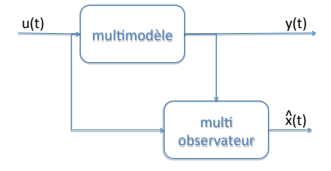
Stabilité, contrôle, observation de MM

#### Estimation d'état de MM

Principe de base Estimation des MM à VPNM Estimation conjointe état / paramètres Quelques remarques

Tolérance aux défauts

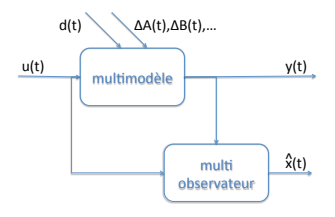
Conclusion



### ► Objectif:

- $\rightarrow$  reconstruire l'état du système x(t)
- ightarrow connaissant l'entrée u(t), la sortie y(t) et un modèle les liant

$$\begin{cases} \dot{x}(t) = \sum_{i=1}^{r} \mu_i(z(t)) (A_i x(t) + B_i u(t)) \\ y(t) = \sum_{i=1}^{r} \mu_i(z(t)) (D_i x(t) + D_i u(t)) \end{cases}$$

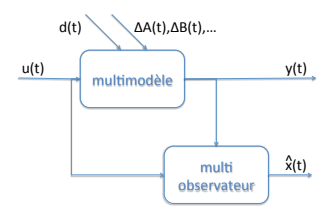


#### ► Objectif:

- $\rightarrow$  reconstruire l'état du système x(t)
- $\rightarrow$  connaissant l'entrée u(t), la sortie y(t) et un modèle les liant

$$\begin{cases} \dot{x}(t) = \sum_{i=1}^{r} \mu_{i}(z(t))((A_{i} + \Delta A_{i}(t))x(t) + (B_{i}\Delta B_{i}(t))u(t) + F_{i}d(t)...) \\ y(t) = \sum_{i=1}^{r} \mu_{i}(z(t))((C_{i} + \Delta C_{i}(t))x(t) + (D_{i}\Delta D_{i}(t))u(t) + G_{i}d(t)...) \end{cases}$$

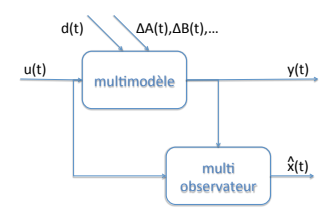
- Difficultés habituelles :
  - → perturbations, incertitudes de modèle, entrées inconnues



- ▶ Objectif :
  - $\rightarrow$  reconstruire l'état du système x(t)
  - $\rightarrow$  connaissant l'entrée u(t), la sortie y(t) et un modèle les liant

$$\begin{cases} \dot{x}(t) = \sum_{i=1}^{r} \mu_{i}(x(t))(A_{i}x(t) + B_{i}u(t)) \\ y(t) = \sum_{i=1}^{r} \mu_{i}(x(t))(C_{i}x(t) + D_{i}u(t)) \end{cases}$$

- Difficultés habituelles :
  - → perturbations, incertitudes de modèle, entrées inconnues
- ► Difficultés propres aux MM :
  - → variables de décision non mesurables (VDNM)



- ▶ Objectif :
  - $\rightarrow$  reconstruire l'état du système x(t)
  - $\rightarrow$  connaissant l'entrée u(t), la sortie y(t) et un modèle les liant

$$\begin{cases} \dot{x}(t) = \sum_{i=1}^{r} \mu_{i}(x(t))(A_{i}x(t) + B_{i}u(t)) \\ y(t) = \sum_{i=1}^{r} \mu_{i}(x(t))(C_{i}x(t) + D_{i}u(t)) \end{cases}$$

- ▶ Difficultés habituelles :
  - → perturbations, incertitudes de modèle, entrées inconnues
- ► Difficultés propres aux MM :
  - → variables de décision non mesurables (VDNM)
- ► Méthode :
  - $\rightarrow$  fonction de Lyapunov de  $e = (x \hat{x})$  et écriture LMI

► MM à observer, avec z(t) mesurable

$$\begin{cases} \dot{x}(t) = \sum_{i=1}^{r} \mu_{i}(z(t))(A_{i}x(t) + B_{i}u(t)) \\ y(t) = \sum_{i=1}^{r} \mu_{i}(z(t))(C_{i}x(t) + D_{i}u(t)) \end{cases}$$

## Estimation d'état de MM : principe de base

► MM à observer, avec z(t) mesurable

$$\begin{cases} \dot{x}(t) = \sum_{i=1}^{r} \mu_{i}(z(t))(A_{i}x(t) + B_{i}u(t)) \\ y(t) = \sum_{i=1}^{r} \mu_{i}(z(t))(C_{i}x(t) + D_{i}u(t)) \end{cases}$$

▶ Un multi-observateur

$$\begin{cases} \dot{\hat{x}}(t) = \sum_{i=1}^{r} \mu_i(z(t)) (A_i \hat{x}(t) + B_i u(t) + L_i(y(t) - \hat{y})) \\ \hat{y}(t) = \sum_{i=1}^{r} \mu_i(z(t)) (C_i \hat{x}(t) + D_i u(t)) \end{cases}$$

gains  $L_i$  à trouver afin que  $\hat{x}(t) \rightarrow x(t)$ 

## Estimation d'état de MM : principe de base

▶ MM à observer, avec z(t) mesurable

$$\begin{cases} \dot{x}(t) = \sum_{i=1}^{r} \mu_{i}(z(t))(A_{i}x(t) + B_{i}u(t)) \\ y(t) = \sum_{i=1}^{r} \mu_{i}(z(t))(C_{i}x(t) + D_{i}u(t)) \end{cases}$$

▶ Un multi-observateur

$$\begin{cases} \dot{\hat{x}}(t) = \sum_{i=1}^{r} \mu_i(z(t)) (A_i \hat{x}(t) + B_i u(t) + L_i(y(t) - \hat{y})) \\ \hat{y}(t) = \sum_{i=1}^{r} \mu_i(z(t)) (C_i \hat{x}(t) + D_i u(t)) \end{cases}$$

gains  $L_i$  à trouver afin que  $\hat{x}(t) \rightarrow x(t)$ 

► Erreur d'estimation  $e(t) = (x(t) - \hat{x}(t))$ 

$$\dot{e}(t) = \sum_{i=1}^{r} \sum_{j=1}^{r} \mu_i(z(t)) \mu_j(z(t)) (A_i - L_i C_j) e(t)$$

## Estimation d'état de MM : principe de base

► MM à observer, avec z(t) mesurable

$$\begin{cases} \dot{x}(t) = \sum_{i=1}^{r} \mu_{i}(z(t))(A_{i}x(t) + B_{i}u(t)) \\ y(t) = \sum_{i=1}^{r} \mu_{i}(z(t))(C_{i}x(t) + D_{i}u(t)) \end{cases}$$

Un multi-observateur

$$\begin{cases} \dot{\hat{x}}(t) = \sum_{i=1}^{r} \mu_i(z(t)) (A_i \hat{x}(t) + B_i u(t) + L_i(y(t) - \hat{y})) \\ \hat{y}(t) = \sum_{i=1}^{r} \mu_i(z(t)) (C_i \hat{x}(t) + D_i u(t)) \end{cases}$$

gains  $L_i$  à trouver afin que  $\hat{x}(t) \rightarrow x(t)$ 

► Erreur d'estimation  $e(t) = (x(t) - \hat{x}(t))$ 

$$\dot{e}(t) = \sum_{i=1}^{r} \sum_{j=1}^{r} \mu_{i}(z(t)) \mu_{j}(z(t)) (A_{i} - L_{i}C_{j}) e(t)$$

▶ Conditions suffisantes à la décroissance de  $V(e(t)) = e^{T}(t)Pe(t)$ 

$$(PA_i + \overline{L}_iC_j) + (PA_i + \overline{L}_iC_j)^T < 0$$
, pour  $1 \le i, j \le r$   
 $L_i = P^{-1}\overline{L}_i$ , pour  $1 < i < r$ 

 MM dont les FA dépendent de l'état x(t) (fréquent lorsque le MM est obtenu par transformation polytopique)

$$\begin{cases} \dot{x}(t) = A_{\mu}x(t) + B_{\mu}u(t) \\ y(t) = Cx(t) + Du(t) \end{cases}, \text{ où } X_{\mu} = \sum_{i=1}^{r} \mu_{i}(x(t))X_{i}$$

 MM dont les FA dépendent de l'état x(t) (fréquent lorsque le MM est obtenu par transformation polytopique)

$$\begin{cases} \dot{x}(t) = A_{\mu}x(t) + B_{\mu}u(t) \\ y(t) = Cx(t) + Du(t) \end{cases}, \text{ où } X_{\mu} = \sum_{i=1}^{r} \mu_{i}(x(t))X_{i}$$

L'état est inconnu pour les FA de l'observateur → on utilise l'estimée de l'état au lieu de l'état

$$\begin{cases} \dot{\hat{x}}(t) = A_{\hat{\mu}}\hat{x}(t) + B_{\hat{\mu}}u(t) + L_{\hat{\mu}}(y(t) - \hat{x}(t))) \\ \hat{y}(t) = C\hat{x}(t) + Du(t) \end{cases}, \text{ où } X_{\hat{\mu}} = \sum_{i=1}^{r} \mu_{i}(\hat{x}(t))X_{i}$$

 MM dont les FA dépendent de l'état x(t) (fréquent lorsque le MM est obtenu par transformation polytopique)

$$\begin{cases} \dot{x}(t) = A_{\mu}x(t) + B_{\mu}u(t) \\ y(t) = Cx(t) + Du(t) \end{cases}, \text{ où } X_{\mu} = \sum_{i=1}^{r} \mu_{i}(x(t))X_{i}$$

L'état est inconnu pour les FA de l'observateur → on utilise l'estimée de l'état au lieu de l'état

$$\begin{cases} \dot{\hat{x}}(t) = A_{\hat{\mu}}\hat{x}(t) + B_{\hat{\mu}}u(t) + L_{\hat{\mu}}(y(t) - \hat{x}(t))) \\ \hat{y}(t) = C\hat{x}(t) + Du(t) \end{cases}, \text{ où } X_{\hat{\mu}} = \sum_{i=1}^{r} \mu_{i}(\hat{x}(t))X_{i}$$

▶ Écrire l'erreur d'estimation sous une forme exploitable

▶ Pour faciliter l'écriture de *e*(*t*), on ré-écrit le système sous la forme :

$$\dot{x}(t) = A_{\hat{\mu}}x(t) + B_{\hat{\mu}}u(t) + (A_{\mu} - A_{\hat{\mu}})x(t) + (B_{\mu} - B_{\hat{\mu}})u(t)$$

▶ Pour faciliter l'écriture de e(t), on ré-écrit le système sous la forme :

$$\dot{x}(t) = A_{\hat{\mu}}x(t) + B_{\hat{\mu}}u(t) + (A_{\mu} - A_{\hat{\mu}})x(t) + (B_{\mu} - B_{\hat{\mu}})u(t)$$

Les termes  $(X_{\mu} - X_{\hat{\mu}})$  peuvent s'écrire comme des incertitudes

$$X_{\mu} - X_{\hat{\mu}} = \underbrace{\begin{bmatrix} X_1 & \dots & X_r \end{bmatrix}}_{M^X} \underbrace{\begin{bmatrix} \mu_1(x) - \mu_1(\hat{x}) & 0 \\ & \ddots & \\ 0 & & \mu_r(x) - \mu_r(\hat{x}) \end{bmatrix}}_{\Sigma^X(t)} \underbrace{\begin{bmatrix} I \\ I \end{bmatrix}}_{N^X}$$

▶ Pour faciliter l'écriture de *e*(*t*), on ré-écrit le système sous la forme :

$$\dot{x}(t) = A_{\hat{\mu}}x(t) + B_{\hat{\mu}}u(t) + (A_{\mu} - A_{\hat{\mu}})x(t) + (B_{\mu} - B_{\hat{\mu}})u(t)$$

Les termes  $(X_{\mu} - X_{\hat{\mu}})$  peuvent s'écrire comme des incertitudes

$$X_{\mu} - X_{\hat{\mu}} = \underbrace{\begin{bmatrix} X_1 & \dots & X_r \end{bmatrix}}_{M^X} \underbrace{\begin{bmatrix} \mu_1(x) - \mu_1(\hat{x}) & 0 \\ & \ddots & \\ 0 & \mu_r(x) - \mu_r(\hat{x}) \end{bmatrix}}_{\Sigma^X(t)} \underbrace{\begin{bmatrix} f \\ \vdots \\ f \end{bmatrix}}_{N^X}$$

On a donc

$$A_{\mu} - A_{\hat{\mu}} = \Delta A(t) = M^A \Sigma^A(t) N^A$$
  
 $B_{\mu} - B_{\hat{\mu}} = \Delta B(t) = M^B \Sigma^B(t) N^B$ 

▶ Pour faciliter l'écriture de *e*(*t*), on ré-écrit le système sous la forme :

$$\dot{x}(t) = A_{\hat{\mu}}x(t) + B_{\hat{\mu}}u(t) + (A_{\mu} - A_{\hat{\mu}})x(t) + (B_{\mu} - B_{\hat{\mu}})u(t)$$

Les termes  $(X_{\mu} - X_{\hat{\mu}})$  peuvent s'écrire comme des incertitudes

$$X_{\mu} - X_{\hat{\mu}} = \underbrace{\begin{bmatrix} X_1 & \dots & X_r \end{bmatrix}}_{M^X} \underbrace{\begin{bmatrix} \mu_1(x) - \mu_1(\hat{x}) & 0 \\ & \ddots & \\ 0 & \mu_r(x) - \mu_r(\hat{x}) \end{bmatrix}}_{\Sigma^X(t)} \underbrace{\begin{bmatrix} I \\ \vdots \\ I \end{bmatrix}}_{N^X}$$

On a donc

$$A_{\mu} - A_{\hat{\mu}} = \Delta A(t) = M^{A} \Sigma^{A}(t) N^{A}$$
  

$$B_{\mu} - B_{\hat{\mu}} = \Delta B(t) = M^{B} \Sigma^{B}(t) N^{B}$$

▶ Comme  $0 \le \mu_i(x(t)) \le 1$  et  $0 \le \mu_i(\hat{x}(t)) \le 1$ , il vient :

$$(\Sigma^{A}(t))^{T}\Sigma^{A}(t) \leq I$$
 et  $(\Sigma^{B}(t))^{T}\Sigma^{B}(t) \leq I$ 



 Le problème d'estimation de MM à VDNM, se ramène à celui d'un MM incertain avec des variables de décision mesurables

$$\dot{x}(t) = (A_{\hat{\mu}} + \Delta A(t))x(t) + (B_{\hat{\mu}} + \Delta B(t))u(t)$$
  
$$y(t) = Cx(t) + Du(t)$$

par l'observateur

$$\dot{\hat{x}}(t) = A_{\hat{\mu}}\hat{x}(t) + B_{\hat{\mu}}u(t) + L_{\hat{\mu}}(y(t) - \hat{y}(t))$$
  
 $\hat{y}(t) = C\hat{x}(t) + Du(t)$ 

 Le problème d'estimation de MM à VDNM, se ramène à celui d'un MM incertain avec des variables de décision mesurables

$$\dot{x}(t) = (A_{\hat{\mu}} + \Delta A(t))x(t) + (B_{\hat{\mu}} + \Delta B(t))u(t)$$
  
$$y(t) = Cx(t) + Du(t)$$

par l'observateur

$$\dot{\hat{x}}(t) = A_{\hat{\mu}}\hat{x}(t) + B_{\hat{\mu}}u(t) + L_{\hat{\mu}}(y(t) - \hat{y}(t))$$
  
 $\hat{y}(t) = C\hat{x}(t) + Du(t)$ 

On peut écrire le système augmenté :

$$\begin{pmatrix} \dot{e}(t) \\ \dot{x}(t) \end{pmatrix} = \begin{pmatrix} A_{\hat{\mu}} - L_{\hat{\mu}}C & \Delta A(t) \\ 0 & A_{\mu} \end{pmatrix} \begin{pmatrix} e(t) \\ x(t) \end{pmatrix} + \begin{pmatrix} \Delta B(t) \\ B_{\mu} \end{pmatrix} u(t)$$

 Le problème d'estimation de MM à VDNM, se ramène à celui d'un MM incertain avec des variables de décision mesurables

$$\dot{x}(t) = (A_{\hat{\mu}} + \Delta A(t))x(t) + (B_{\hat{\mu}} + \Delta B(t))u(t)$$
  
$$y(t) = Cx(t) + Du(t)$$

par l'observateur

$$\dot{\hat{x}}(t) = A_{\hat{\mu}}\hat{x}(t) + B_{\hat{\mu}}u(t) + L_{\hat{\mu}}(y(t) - \hat{y}(t))$$
  
 $\hat{y}(t) = C\hat{x}(t) + Du(t)$ 

On peut écrire le système augmenté :

$$\begin{pmatrix} \dot{e}(t) \\ \dot{x}(t) \end{pmatrix} = \begin{pmatrix} A_{\hat{\mu}} - L_{\hat{\mu}}C & \Delta A(t) \\ 0 & A_{\mu} \end{pmatrix} \begin{pmatrix} e(t) \\ x(t) \end{pmatrix} + \begin{pmatrix} \Delta B(t) \\ B_{\mu} \end{pmatrix} u(t)$$

▶ Et chercher les  $L_i$  qui minimisent le gain  $L_2$  de u(t) vers e(t).

Fonction de Lyapunov de e(t) et x(t)

$$V(e,x) = e^{T}(t)P_1e(t) + x^{T}(t)P_2x(t)$$

avec 
$$P_1 = P_1 > 0$$
 et  $P_2 = P_2^T > 0$ 

▶ Gain  $\mathcal{L}_2$  de u(t) vers e(t) borné si

$$\begin{pmatrix} \mathbb{S}(P_1A_{\hat{\mu}} - P_1L_{\hat{\mu}}C) + I & P_1\Delta A(t) & P_1\Delta B(t) \\ (P_1\Delta A(t))^T & \mathbb{S}(P_2A_{\mu}) & P_2B_{\mu} \\ (P_1\Delta B(t))^T & (P_2B_{\mu})^T & -\gamma^2 I \end{pmatrix} < 0$$

Fonction de Lyapunov de e(t) et x(t)

$$V(e, x) = e^{T}(t)P_{1}e(t) + x^{T}(t)P_{2}x(t)$$

avec 
$$P_1 = P_1 > 0$$
 et  $P_2 = P_2^T > 0$ 

► Gain L<sub>2</sub> de u(t) vers e(t) borné si

$$\begin{pmatrix} \mathbb{S}(P_1A_{\hat{\mu}} - P_1L_{\hat{\mu}}C) + I & P_1\Delta A(t) & P_1\Delta B(t) \\ (P_1\Delta A(t))^T & \mathbb{S}(P_2A_{\mu}) & P_2B_{\mu} \\ (P_1\Delta B(t))^T & (P_2B_{\mu})^T & -\gamma^2I \end{pmatrix} < 0$$

- Manipulations pour avoir des conditions suffisantes LMI :
  - $\rightarrow$  séparer partie certaine / incertaine ( $\triangle A(t)$  et  $\triangle B(t)$ )
  - $\rightarrow$  majoration par : pour  $\Delta^T(t)\Delta(t) < I$  et  $\lambda > 0$

$$X^{\mathsf{T}}\Delta^{\mathsf{T}}(t)Y + Y^{\mathsf{T}}\Delta(t)X \leq \lambda X^{\mathsf{T}}X + \lambda^{-1}Y^{\mathsf{T}}Y$$

- → complément de Schur
- $\rightarrow$  changement de variables  $\bar{L}_i = P_1 L_i$
- → positivité des FA



### Synthèse de multiobservateur pour MM à VDNM 16

Système MM à VDNM : 
$$\begin{cases} \dot{x}(t) = A_{\mu}x(t) + B_{\mu}u(t) \\ y(t) = Cx(t) + Du(t) \end{cases}$$
 Multi-observateur : 
$$\begin{cases} \dot{\hat{x}}(t) = A_{\hat{\mu}}\hat{x}(t) + B_{\hat{\mu}}u(t) + L_{\hat{\mu}}(y(t) - \hat{y}(t))) \\ \hat{y}(t) = C\hat{x}(t) + Du(t) \end{cases}$$

L'erreur d'estimation d'état vérifie :  $\int_0^\infty e^T(t)e(t)dt \le \gamma^2 \int_0^\infty u^T(t)u(t)dt$ s'il existe  $P_1 = P_1^T > 0$ ,  $P_2 = P_2^T > 0$ ,  $\lambda^A$ ,  $\lambda^B$  et  $\bar{L}_i$  minimisant  $\gamma^2$  s.c.

$$\begin{pmatrix} \mathbb{S}(P_1A_i \!\!-\!\! \bar{L}_iC) \!\!+\!\! I & 0 & 0 & P_1M_i^A & P_1M_i^B \\ 0 & \mathbb{S}(P_2A_i) \!\!+\!\! N^{AT}\lambda^AN^A & P_2B_i & 0 & 0 \\ 0 & (P_2B_i)^T & N^{BT}\lambda^BN^B \!-\! \gamma^2I & 0 & 0 \\ (P_1M^A)^T & 0 & 0 & -\lambda^AI & 0 \\ (P_1M^B)^T & 0 & 0 & 0 & -\lambda^BI \end{pmatrix} < 0$$

pour i = 1, ..., r. Les gains de l'observateur sont donnés par :  $L_i = P_1^{-1} \bar{L}_i$ .

Ichalal, Marx, Ragot, Maquin, State estimation of Takagi-Sugeno systems with unmeasurable 

#### Cette approche se généralise

► MM à VDNM avec incertitudes / entrées inconnues additives

$$\begin{cases} \dot{x}(t) = \sum_{i=1}^{r} \mu_{i}(x(t)) (A_{i}x(t) + B_{i}u(t) + F_{i}d(t)) \\ y(t) = Cx(t) + Du(t) + Gd(t) \end{cases}$$

28/39

<sup>17.</sup> Nagy-Kiss, Marx, Mourot, Schutz, Ragot, State estimation of two-time scale multiple models. Application to wastewater treatment plant, *Control Engineering Practice*, 19(11), 1354-1362, 2011

<sup>18.</sup> Nagy-Kiss, Marx, Mourot, Schutz, Ragot, Observer design for uncertain Takagi-Sugeno systems with unmeasurable premise variables and unknown inputs. Application to a wastewater treatment plant, *Journal of Process Control*, 21(7), 1105-1114, 2011

#### Cette approche se généralise

MM à VDNM avec incertitudes / entrées inconnues additives

$$\begin{cases} \dot{x}(t) = \sum_{i=1}^{r} \mu_{i}(x(t)) (A_{i}x(t) + B_{i}u(t) + F_{i}d(t)) \\ y(t) = Cx(t) + Du(t) + Gd(t) \end{cases}$$

► MM singuliers à VDNM avec entrées inconnues <sup>17</sup>

$$\begin{cases} E\dot{x}(t) = \sum_{i=1}^{r} \mu_i(x(t)) \left( A_i x(t) + B_i u(t) + F_i d(t) \right) \\ y(t) = Cx(t) + Du(t) + Gd(t) \end{cases}$$

Séminaire COpHy, 26 / 06 / 2014

<sup>17.</sup> Nagy-Kiss, Marx, Mourot, Schutz, Ragot, State estimation of two-time scale multiple models. Application to wastewater treatment plant, *Control Engineering Practice*, 19(11), 1354-1362, 2011

<sup>18.</sup> Nagy-Kiss, Marx, Mourot, Schutz, Ragot, Observer design for uncertain Takagi-Sugeno systems with unmeasurable premise variables and unknown inputs. Application to a wastewater treatment plant, *Journal of Process Control*, 21(7), 1105-1114, 2011

#### Cette approche se généralise

MM à VDNM avec incertitudes / entrées inconnues additives

$$\begin{cases} \dot{x}(t) = \sum_{i=1}^{r} \mu_{i}(x(t)) (A_{i}x(t) + B_{i}u(t) + F_{i}d(t)) \\ y(t) = Cx(t) + Du(t) + Gd(t) \end{cases}$$

MM singuliers à VDNM avec entrées inconnues <sup>17</sup>

$$\begin{cases} E\dot{x}(t) = \sum_{i=1}^{r} \mu_{i}(x(t)) (A_{i}x(t) + B_{i}u(t) + F_{i}d(t)) \\ y(t) = Cx(t) + Du(t) + Gd(t) \end{cases}$$

► MM à VDNM avec incertitudes paramétriques <sup>18</sup>

$$\begin{cases} \dot{x}(t) = \sum_{i=1}^{r} \mu_i(x(t)) \left( (A_i + \Delta A_i(t)) x(t) + (B_i + \Delta B_i(t)) u(t) \right) \\ y(t) = Cx(t) + Du(t) \end{cases}$$

<sup>17.</sup> Nagy-Kiss, Marx, Mourot, Schutz, Ragot, State estimation of two-time scale multiple models. Application to wastewater treatment plant, *Control Engineering Practice*, 19(11), 1354-1362, 2011

<sup>18.</sup> Nagy-Kiss, Marx, Mourot, Schutz, Ragot, Observer design for uncertain Takagi-Sugeno systems with unmeasurable premise variables and unknown inputs. Application to a wastewater treatment plant, *Journal of Process Control*, 21(7), 1105-1114, 2011

 Représentation d'un système non linéaire à paramètres bornés variants dans le temps

$$\begin{cases} \dot{x}(t) = \sum_{i=1}^{r} \mu_i(x(t)) (A_i(\theta(t))x(t) + B_i(\theta(t))u(t)) \\ y(t) = Cx(t) \end{cases}$$

$$\theta_j(t) \in \left[\underline{\theta}_j \ \overline{\theta}_j\right] \qquad A_i(\theta(t)) = \overline{A}_i + \sum_{j=1}^n \theta_j(t) \overline{A}_{ij} \quad \text{et} \quad B_i(\theta(t)) = \overline{B}_i + \sum_{j=1}^n \theta_j(t) \overline{B}_{ij}$$

 Représentation d'un système non linéaire à paramètres bornés variants dans le temps

$$\begin{cases} \dot{x}(t) = \sum_{i=1}^{r} \mu_i(x(t)) (A_i(\theta(t))x(t) + B_i(\theta(t))u(t)) \\ y(t) = Cx(t) \end{cases}$$

$$\theta_j(t) \in \left[\underline{\theta}_j \ \overline{\theta}_j\right] \qquad A_i(\theta(t)) = \overline{A}_i + \sum_{j=1}^n \theta_j(t) \overline{A}_{ij} \quad \text{et} \quad B_i(\theta(t)) = \overline{B}_i + \sum_{j=1}^n \theta_j(t) \overline{B}_{ij}$$

lacktriangle Transformation polytopique appliquée à chaque  $heta_j(t)$  borné

$$\theta_j(t) = \tilde{\lambda}_1(\theta_j(t))\overline{\theta_j} + \tilde{\lambda}_2(\theta_j(t))\underline{\theta_j}$$

 Représentation d'un système non linéaire à paramètres bornés variants dans le temps

$$\begin{cases} \dot{x}(t) = \sum_{i=1}^{r} \mu_i(x(t)) (A_i(\theta(t))x(t) + B_i(\theta(t))u(t)) \\ y(t) = Cx(t) \end{cases}$$

$$heta_j(t) \in \left[\underline{\theta}_j \ \overline{\theta}_j\right] \qquad A_i(\theta(t)) = \overline{A}_i + \sum_{j=1}^n \theta_j(t) \overline{A}_{ij} \quad \text{et} \quad B_i(\theta(t)) = \overline{B}_i + \sum_{j=1}^n \theta_j(t) \overline{B}_{ij}$$

▶ Transformation polytopique appliquée à chaque  $\theta_j(t)$  borné

$$\theta_j(t) = \tilde{\lambda}_1(\theta_j(t))\overline{\theta_j} + \tilde{\lambda}_2(\theta_j(t))\underline{\theta_j}$$

Écriture MM du système non linéaire à paramètres variants

$$\begin{cases} \dot{x}(t) = \sum_{i=1}^{r} \sum_{i=j}^{2^{n}} \mu_{i}(x(t)) \lambda_{j}(\theta(t)) (\mathcal{A}_{ij}x(t) + \mathcal{B}_{ij}u(t)) \\ y(t) = Cx(t) \end{cases}$$



Système non linéaire à paramètres variants

$$\begin{cases} \dot{x}(t) = \mathcal{A}_{\mu\lambda}x(t) + \mathcal{B}_{\mu\lambda}u(t) \\ y(t) = Cx(t) \end{cases}$$

Proche de MM à VDNM avec un état augmenté

$$\bar{x}^T(t) = \left[x^T(t) \ \theta^T(t)\right]$$

Système non linéaire à paramètres variants

$$\begin{cases} \dot{x}(t) = \mathcal{A}_{\mu\lambda}x(t) + \mathcal{B}_{\mu\lambda}u(t) \\ y(t) = Cx(t) \end{cases}$$

Proche de MM à VDNM avec un état augmenté

$$\bar{x}^T(t) = \left[x^T(t) \ \theta^T(t)\right]$$

Observateur proche d'une structure PI estimant état et paramètres

$$\begin{cases} \dot{\hat{x}(t)} = \mathcal{A}_{\hat{\mu}\hat{\lambda}}\hat{x}(t) + \mathcal{B}_{\hat{\mu}\hat{\lambda}}u(t) + \mathcal{L}_{\hat{\mu}\hat{\lambda}}(y(t) - \hat{y}(t)) \\ \dot{\hat{\theta}}(t) = -\alpha_{\hat{\mu}\hat{\lambda}}\hat{\theta} + \mathcal{K}_{\hat{\mu}\hat{\lambda}}(y(t) - \hat{t})) \\ \hat{y}(t) = \hat{C}x(t) \end{cases}$$

Séminaire COpHy, 26 / 06 / 2014

<sup>19.</sup> Bezzaoucha, Marx, Maguin, Ragot, Nonlinear Joint State and Parameter Estimation: Application to a Wastewater Treatment Plant, Control Engineering and Practice, 21(10), 1377-1385, 2013 90 00

Système non linéaire à paramètres variants

$$\begin{cases} \dot{x}(t) = \mathcal{A}_{\mu\lambda}x(t) + \mathcal{B}_{\mu\lambda}u(t) \\ y(t) = Cx(t) \end{cases}$$

Proche de MM à VDNM avec un état augmenté

$$\bar{x}^T(t) = \left[x^T(t) \ \theta^T(t)\right]$$

Observateur proche d'une structure PI estimant état et paramètres

$$\begin{cases} \dot{x}(t) = \mathcal{A}_{\hat{\mu}\hat{\lambda}}\hat{x}(t) + \mathcal{B}_{\hat{\mu}\hat{\lambda}}u(t) + \mathcal{L}_{\hat{\mu}\hat{\lambda}}(y(t) - \hat{y}(t)) \\ \dot{\hat{\theta}}(t) = -\alpha_{\hat{\mu}\hat{\lambda}}\hat{\theta} + \mathcal{K}_{\hat{\mu}\hat{\lambda}}(y(t) - \hat{t})) \\ \hat{y}(t) = \hat{C}x(t) \end{cases}$$

Conditions LMI suffisantes à l'existence de l'observateur et détermination des gains  $L_{\hat{n}\hat{\lambda}}$ ,  $K_{\hat{n}\hat{\lambda}}$  et  $\alpha_{\hat{n}\hat{\lambda}}$  <sup>19</sup>

<sup>19.</sup> Bezzaoucha, Marx, Maguin, Ragot, Nonlinear Joint State and Parameter Estimation: Application to a Wastewater Treatment Plant, Control Engineering and Practice, 21(±0), 1377-1385, 2013 🐇 🛷 🤉

Application à un modèle de station d'épuration à boues activées

$$\begin{cases} \dot{X}_{DCO}(t) = -\frac{1}{Y_h}[\varphi_1(t) + \varphi_2(t)] + (1 - f_p)(\varphi_4(t) + \varphi_5(t)) + D_1(t) \\ \dot{S}_O(t) = \frac{Y_h - 1}{Y_h}\varphi_1(t) + \frac{Y_a - 4.57}{Y_a}\varphi_3(t) + D_2(t) \\ \dot{S}_{NH}(t) = -i_{xb}[\varphi_1(t) + \varphi_2(t)] - \left[i_{xb} + \frac{1}{Y_a}\right]\varphi_3(t) + (i_{xb} - f_p i_{xp})[\varphi_4(t) + \varphi_5(t)] + D_3(t) \\ \dot{S}_{NO}(t) = \frac{Y_h - 1}{2.86Y_h}\varphi_2(t) + \frac{1}{Y_a}\varphi_3(t) + D_4(t) \\ \dot{X}_{BH}(t) = \varphi_1(t) + \varphi_2(t) - \varphi_4(t) + D_5(t) \\ \dot{X}_{BA}(t) = \varphi_3(t) - \varphi_5(t) + D_6(t) \end{cases}$$

Application à un modèle de station d'épuration à boues activées

$$\begin{cases} \varphi_{1}(t) = \mu_{h} \frac{X_{DCO}(t)}{K_{DCO} + X_{DCO}(t)} \frac{S_{O}(t)}{K_{OH} + S_{O}(t)} X_{BH}(t) \\ \varphi_{2}(t) = \mu_{h} \eta_{NOg} \frac{S_{DCO}(t)}{K_{DCO} + X_{DCO}(t)} \frac{S_{NO}(t)}{K_{NO} + S_{NO}(t)} \frac{K_{OH}}{K_{OH} + S_{O}(t)} X_{BH}(t) \\ \varphi_{3}(t) = \mu_{a} \frac{S_{NH}(t)}{K_{NH,A} + S_{NH}(t)} \frac{S_{O}(t)}{K_{O,A} + S_{O}(t)} X_{BA}(t) \\ \varphi_{4}(t) = b_{H} X_{BH}(t) \\ \varphi_{5}(t) = b_{A} X_{BA}(t) \\ D_{1}(t) = D_{in}(t) [X_{DCO,in}(t) - X_{DCO}(t)] \\ D_{2}(t) = D_{in}(t) [-S_{O}(t)] + Kq_{a}(t) [S_{O,sat} - S_{O}(t)] \\ D_{3}(t) = D_{in}(t) [S_{NH,in}(t) - S_{NH}(t)] \\ D_{4}(t) = D_{in}(t) [X_{BH,in}(t) - X_{BH}(t) + \frac{f_{r}(1 - f_{w})}{f_{r} + f_{w}} X_{BH}(t)] \\ D_{6}(t) = D_{in}(t) [-X_{BA}(t) + \frac{f_{r}(1 - f_{w})}{f_{r} + f_{w}} X_{BA}(t)] \end{cases}$$

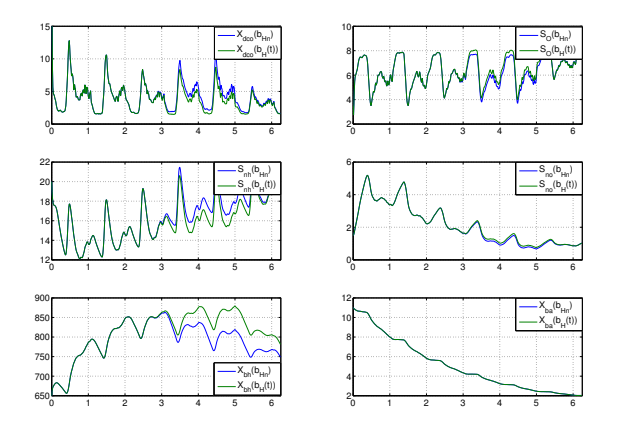
Application à un modèle de station d'épuration à boues activées

- ▶ n = 6 variables d'état
- 4 variables de prémisse

$$\begin{cases} z_{1}(x(t), u(t)) = \frac{q_{in}(t)}{V} \\ z_{2}(x(t), u(t)) = \frac{\kappa_{DCO}(t)}{\kappa_{DCO} + \lambda_{DCO}(t)} \frac{S_{O}(t)}{\kappa_{OH} + S_{O}(t)} \\ z_{3}(x(t), u(t)) = \frac{\kappa_{DCO}(t)}{\kappa_{DCO} + \lambda_{DCO}(t)} \frac{S_{NO}(t)}{\kappa_{NO} + S_{NO}(t)} \frac{\kappa_{OH}}{\kappa_{OH} + S_{O}(t)} \\ z_{4}(x(t), u(t)) = \frac{1}{\kappa_{OA} + S_{O}(t)} \frac{S_{NH}(t)}{\kappa_{NH,A} + S_{NH}(t)} X_{BA}(t) \end{cases}$$

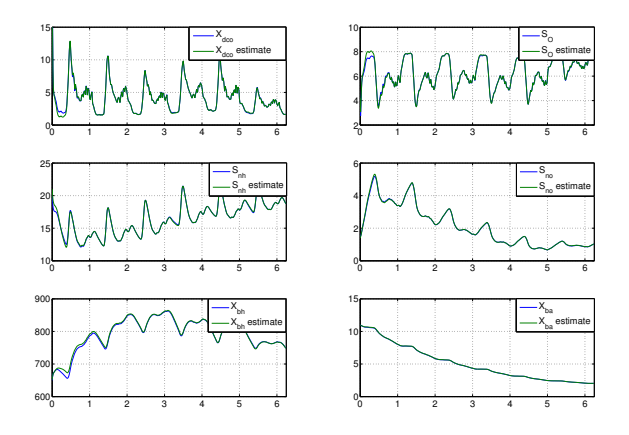
- 1 paramètre borné variant dans le temps
- $r = 2^4 \times 2^1 = 32$  sous-modèles

Application à un modèle de station d'épuration à boues activées



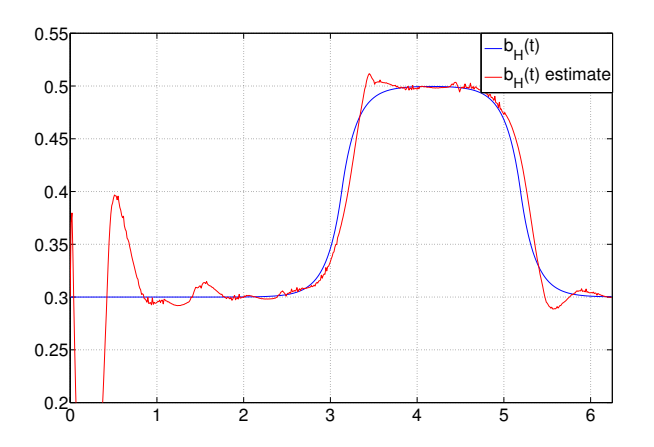
Effet du paramètre variant (sans : bleu / avec : vert)

Application à un modèle de station d'épuration à boues activées



Estimation des variables d'état (réelles : bleu / estimées : vert)

Application à un modèle de station d'épuration à boues activées



Estimation du paramètre variant (réel : bleu / estimé : rouge)

### Estimation d'état : quelques remarques

- L'accent n'a pas encore été mis sur la minimisation du conservatisme des LMIs
  - utilisation de fonctions de Lyapunov multiples
  - relaxation de (Tuan et. al., 2001) pour limiter le nombre de LMIs
  - approche descripteur pour limiter le nombre de LMIs et éviter les termes non linéaires

## Estimation d'état : quelques remarques

- L'accent n'a pas encore été mis sur la minimisation du conservatisme des LMIs
  - utilisation de fonctions de Lyapunov multiples
  - relaxation de (Tuan et. al., 2001) pour limiter le nombre de LMIs
  - approche descripteur pour limiter le nombre de LMIs et éviter les termes non linéaires
- Extensions existantes des résultats présentés
  - Observateur PI (PMI): augmentation de l'état pour estimer les entrées inconnues constantes (ou pas)
  - utilisation de l'état estimé pour la commande
  - utilisation des estimées de l'état et des entrées inconnues pour le diagnostic et / ou la commande tolérante aux fautes

#### Section 4

#### Tolérance aux défauts

Introduction aux multimodèles

Stabilité, contrôle, observation de MM

Estimation d'état de MM

#### Tolérance aux défauts

Suivi de référence malgré un défaut Retour de sortie malgré une commande saturée

Conclusion

## Suivi de référence malgré un défaut

#### Objectifs et difficulté

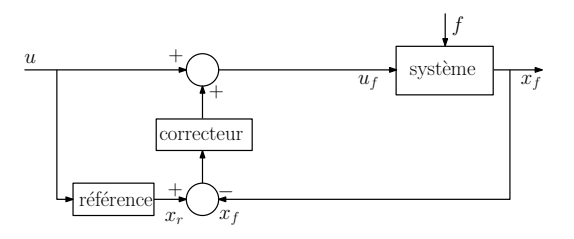
suivi de trajectoire d'un modèle de référence :

$$\dot{x}_r(t) = A^r x_r(t) + B^r u(t)$$

• en présence de défaut capteur et actionneur :

$$\begin{cases} \dot{x}_{f}(t) = A_{\mu}x_{f}(t) + B_{\mu}u_{f}(t) + G_{\mu}f(t) \\ y_{f}(t) = C_{\mu}x_{f}(t) + D_{\mu}u_{f}(t) + W_{\mu}f(t) \end{cases}$$

### Principe



## Suivi de référence malgré un défaut

#### Objectifs et difficulté

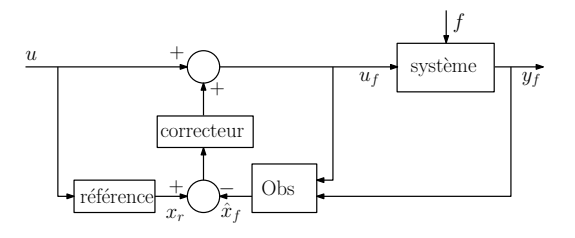
suivi de trajectoire d'un modèle de référence :

$$\dot{x}_r(t) = A^r x_r(t) + B^r u(t)$$

• en présence de défaut capteur et actionneur :

$$\begin{cases} \dot{x}_f(t) = A_{\mu} x_f(t) + B_{\mu} u_f(t) + G_{\mu} f(t) \\ y_f(t) = C_{\mu} x_f(t) + D_{\mu} u_f(t) + W_{\mu} f(t) \end{cases}$$

#### Principe



#### Suivi de référence malgré un défaut

#### Objectifs et difficulté

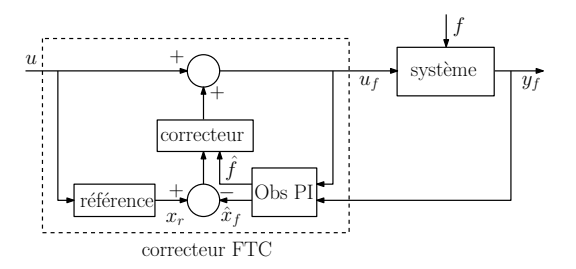
suivi de trajectoire d'un modèle de référence :

$$\dot{x}_r(t) = A^r x_r(t) + B^r u(t)$$

• en présence de défaut capteur et actionneur :

$$\begin{cases} \dot{x}_f(t) = A_{\mu} x_f(t) + B_{\mu} u_f(t) + G_{\mu} f(t) \\ y_f(t) = C_{\mu} x_f(t) + D_{\mu} u_f(t) + W_{\mu} f(t) \end{cases}$$

#### Principe



#### Suivi de référence malgré un défaut

#### Objectifs et difficulté

suivi de trajectoire d'un modèle de référence :

$$\dot{x}_r(t) = A^r x_r(t) + B^r u(t)$$

en présence de défaut capteur et actionneur :

$$\begin{cases} \dot{x}_f(t) = A_{\mu} x_f(t) + B_{\mu} u_f(t) + G_{\mu} f(t) \\ y_f(t) = C_{\mu} x_f(t) + D_{\mu} u_f(t) + W_{\mu} f(t) \end{cases}$$

#### Principe

réguler l'erreur de poursuite et compenser le défaut

$$u_f(t) = u(t) + K_{\mu}(x_r - \hat{x}_f) + K_{\mu}^f \hat{f}(t)$$

► P(M)IO pour estimer l'état en défaut et le défaut :

$$\begin{cases} \dot{\hat{x}}_{f}(t) = A_{\mu}\hat{x}_{f}(t) + B_{\mu}u_{f}(t) + G_{\mu}\hat{f}(t) + L_{\mu}^{1}(y_{f}(t) - \hat{y}_{f}(t)) \\ \dot{\hat{f}}(t) = L_{\mu}^{2}(y_{f}(t) - \hat{y}_{f}(t)) - \hat{f}(t) \\ (\cdots = \cdots) \\ \hat{y}_{f}(t) = C_{\mu}\hat{x}_{f}(t) + D_{\mu}u_{f}(t) + W_{\mu}\hat{f}(t) \end{cases}$$

Séminaire COpHy, 26 / 06 / 2014

34/39

<sup>20.</sup> Bouarar, Marx, Maquin, Ragot, Fault tolerant control for uncertain Takagi-Sugeno systems by trajectory tracking: a descriptor approach, *IET Control Theory and Applications*, 4(14), 1793-1805, 2013.

#### Suivi de référence malgré un défaut

#### Objectifs et difficulté

suivi de trajectoire d'un modèle de référence :

$$\dot{x}_r(t) = A^r x_r(t) + B^r u(t)$$

en présence de défaut capteur et actionneur :

$$\begin{cases} \dot{x}_f(t) = A_{\mu} x_f(t) + B_{\mu} u_f(t) + G_{\mu} f(t) \\ y_f(t) = C_{\mu} x_f(t) + D_{\mu} u_f(t) + W_{\mu} f(t) \end{cases}$$

#### Principe

réguler l'erreur de poursuite et compenser le défaut

$$u_f(t) = u(t) + K_{\mu}(x_r - \hat{x}_f) + K_{\mu}^f \hat{f}(t)$$

► P(M)IO pour estimer l'état en défaut et le défaut :

$$\begin{cases} \dot{\hat{x}}_{f}(t) = A_{\mu}\hat{x}_{f}(t) + B_{\mu}u_{f}(t) + G_{\mu}\hat{f}(t) + L_{\mu}^{1}(y_{f}(t) - \hat{y}_{f}(t)) \\ \dot{\hat{f}}(t) = L_{\mu}^{2}(y_{f}(t) - \hat{y}_{f}(t)) - \hat{f}(t) \\ (\cdots = \cdots) \\ \hat{y}_{f}(t) = C_{\mu}\hat{x}_{f}(t) + D_{\mu}u_{f}(t) + W_{\mu}\hat{f}(t) \end{cases}$$

- approche descripteur
- minimisation du gain  $\mathcal{L}_2$  de f vers les erreurs de poursuite et d'estimation  $^{20}$

34/39

<sup>20.</sup> Bouarar, Marx, Maquin, Ragot, Fault tolerant control for uncertain Takagi-Sugeno systems by trajectory tracking: a descriptor approach, *IET Control Theory and Applications*, 4(14), 1793-1805, 2013.

- Objectif et difficulté
  - Stabiliser le système MM

$$\begin{cases} \dot{x}(t) = A_{\mu}x(t) + B_{\mu}u(t) \\ y(t) = C_{\mu}x(t) + D_{\mu}u(t) \end{cases}$$

▶ par un retour de sortie

"statique" ou dynamique 
$$u(t)=K_{\mu}y(t) \qquad \qquad \dot{x}_{c}(t)=A_{\mu}^{c}x_{c}(t)+B_{\mu}^{c}y(t) \\ u(t)=C_{\mu}^{c}x_{c}(t)+D_{\mu}^{c}y(t)$$

#### Objectif et difficulté

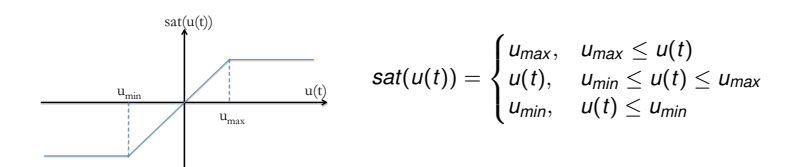
Stabiliser le système MM

$$\begin{cases} \dot{x}(t) = A_{\mu}x(t) + B_{\mu}sat(u(t)) \\ y(t) = C_{\mu}x(t) + D_{\mu}sat(u(t)) \end{cases}$$

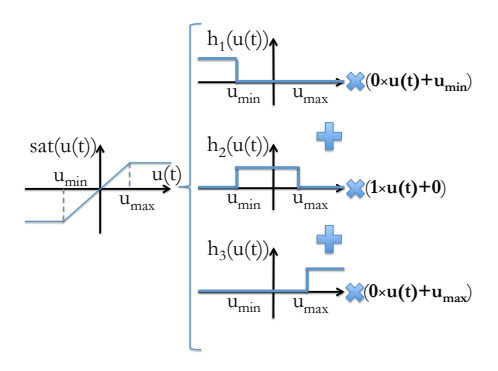
par un retour de sortie

"statique" ou dynamique 
$$u(t)=K_{\mu}y(t) \qquad \qquad \dot{x}_{\mathcal{C}}(t)=A_{\mu}^{\mathcal{C}}x_{\mathcal{C}}(t)+B_{\mu}^{\mathcal{C}}y(t) \\ u(t)=C_{\mu}^{\mathcal{C}}x_{\mathcal{C}}(t)+D_{\mu}^{\mathcal{C}}y(t)$$

malgré une commande saturée



- Démarche : représentation MM de la saturation
  - Commande saturée scalaire sous forme polytopique :



- Démarche : représentation MM de la saturation
  - Commande saturée scalaire sous forme polytopique :

$$sat(u(t)) = \sum_{i=1}^{3} h_i(u(t))(\lambda_i u(t) + \gamma_i)$$

où les  $h_i(u(t))$  sont positives et de somme unitaire

- Démarche : représentation MM de la saturation
  - Commande saturée scalaire sous forme polytopique :

$$sat(u(t)) = \sum_{i=1}^{3} h_i(u(t))(\lambda_i u(t) + \gamma_i)$$

où les  $h_i(u(t))$  sont positives et de somme unitaire

Généralisation au cas d'une commande saturée vectorielle

$$sat(u(t)) = \sum_{i=1}^{3^{n_u}} h_i(u(t))(\Lambda_i u(t) + \Gamma_i)$$

- ▶ **Démarche** : représentation MM de la saturation
  - Commande saturée scalaire sous forme polytopique :

$$sat(u(t)) = \sum_{i=1}^{3} h_i(u(t))(\lambda_i u(t) + \gamma_i)$$

où les  $h_i(u(t))$  sont positives et de somme unitaire

Généralisation au cas d'une commande saturée vectorielle

$$sat(u(t)) = \sum_{i=1}^{3^{nu}} h_i(u(t))(\Lambda_i u(t) + \Gamma_i)$$

Le système MM avec commande saturée s'écrit

$$\begin{cases} \dot{x}(t) = \sum_{j=1}^{r} \mu_j(z) (A_j x(t) + B_j sat(u(t))) \\ y(t) = \sum_{j=1}^{r} \mu_j(z) (C_j x(t) + D_j sat(u(t))) \end{cases}$$

- ▶ Démarche : représentation MM de la saturation
  - Commande saturée scalaire sous forme polytopique :

$$sat(u(t)) = \sum_{i=1}^{3} h_i(u(t))(\lambda_i u(t) + \gamma_i)$$

où les  $h_i(u(t))$  sont positives et de somme unitaire

Généralisation au cas d'une commande saturée vectorielle

$$sat(u(t)) = \sum_{i=1}^{3^{nu}} h_i(u(t))(\Lambda_i u(t) + \Gamma_i)$$

Le système MM avec commande saturée s'écrit

$$\begin{cases} \dot{x}(t) = \sum_{j=1}^{r} \sum_{i=1}^{3^{n_u}} \mu_j(z) h_i(u) (A_i x(t) + B_j(\Lambda_i u(t) + \Gamma_i)) \\ y(t) = \sum_{j=1}^{r} \sum_{i=1}^{3^{n_u}} \mu_j(z) h_i(u) (C_x(t) + D_j(\Lambda_i u(t) + \Gamma_i)) \end{cases}$$

- Démarche : représentation MM de la saturation
  - Commande saturée scalaire sous forme polytopique :

$$sat(u(t)) = \sum_{i=1}^{3} h_i(u(t))(\lambda_i u(t) + \gamma_i)$$

où les  $h_i(u(t))$  sont positives et de somme unitaire

Généralisation au cas d'une commande saturée vectorielle

$$sat(u(t)) = \sum_{i=1}^{3^{n_u}} h_i(u(t))(\Lambda_i u(t) + \Gamma_i)$$

Le système MM avec commande saturée s'écrit

$$\begin{cases} \dot{x}(t) = A_{\mu}x(t) + B_{\mu}\Lambda_{h}u(t) + B_{\mu}\Gamma_{h} \\ y(t) = C_{\mu}x(t) + D_{\mu}\Lambda_{h}u(t) + D_{\mu}\Gamma_{h} \end{cases}$$

- Démarche : approche descripteur
  - ► Retour de sortie statique saturé

système : 
$$\begin{cases} \dot{x}(t) = A_{\mu}x(t) + B_{\mu}(\Lambda_{h}u(t) + \Gamma_{h}) \\ y(t) = C_{\mu}x(t) + D_{\mu}(\Lambda_{h}u(t) + \Gamma_{h}) \end{cases}$$
 correcteur :  $u(t) = K_{\mu}y(t)$ 

- Démarche : approche descripteur
  - Retour de sortie statique saturé

système : 
$$\begin{cases} \dot{x}(t) = A_{\mu}x(t) + B_{\mu}(\Lambda_{h}u(t) + \Gamma_{h}) \\ y(t) = C_{\mu}x(t) + D_{\mu}(\Lambda_{h}u(t) + \Gamma_{h}) \end{cases}$$
 correcteur :  $u(t) = K_{\mu}y(t)$ 

Système en boucle fermée sous forme descripteur :

$$\begin{pmatrix} I & 0 & 0 \\ 0 & 0 & 0 \\ 0 & 0 & 0 \end{pmatrix} \begin{pmatrix} \dot{x}(t) \\ \dot{u}(t) \\ \dot{y}(t) \end{pmatrix} = \begin{pmatrix} A_{\mu} & B_{\mu}\Lambda_{h} & 0 \\ 0 & -I & K_{\mu} \\ C_{\mu} & D_{\mu}\Lambda_{h} & -I \end{pmatrix} \begin{pmatrix} x(t) \\ u(t) \\ y(t) \end{pmatrix} + \begin{pmatrix} B_{\mu}\Gamma_{h} \\ 0 \\ D_{j}\Gamma_{h} \end{pmatrix}$$

- Démarche : approche descripteur
  - ► Retour de sortie dynamique saturé

Système en boucle fermée sous forme descripteur :

- Démarche : approche descripteur
  - Retour de sortie dynamique saturé

$$\text{syst\`eme}: \begin{cases} \dot{x}(t) = A_{\mu}x(t) + B_{\mu}(\Lambda_{h}u(t) + \Gamma_{h}) \\ y(t) = C_{\mu}x(t) + D_{\mu}(\Lambda_{h}u(t) + \Gamma_{h}) \end{cases}$$
 
$$\text{correcteur}: \begin{cases} \dot{x}_{c}(t) = A_{\mu}^{c}x_{c}(t) + B_{\mu}^{c}y(t) \\ u(t) = C_{\mu}^{c}x_{c}(t) + D_{\mu}^{c}y(t) \end{cases}$$

Système en boucle fermée sous forme descripteur :

- ► Dans les deux cas <sup>21</sup> :
  - $ightarrow E\dot{x}_a(t) = \tilde{A}_{\mu h} x_a(t) + \tilde{B}_{\mu h}$
  - $\rightarrow$  fonction de Lyapunov de l'état augmenté  $x_a$
  - ightarrow conditions LMI suffisantes pour la convergence dans  $\mathcal{B}(0,eta)$
  - $\rightarrow$  minimisation du rayon  $\beta$

#### Pour finir...

- ► Approche multimodèle
  - + représentation générale de systèmes linéaires
  - + prise en compte unifiée de saturation, paramètres variants, etc
  - + utilisation d'outils issus du linéaire
  - conservatisme des conditions suffisantes évaluées aux sommets
  - problème des écritures équivalentes qui ne le sont pas

#### Pour finir...

- ► Approche multimodèle
  - + représentation générale de systèmes linéaires
  - + prise en compte unifiée de saturation, paramètres variants, etc
  - + utilisation d'outils issus du linéaire
  - conservatisme des conditions suffisantes évaluées aux sommets
  - problème des écritures équivalentes qui ne le sont pas
- ► Pistes à suivre
  - réduction du conservatisme
  - ▶ diagnostic / FTC sans estimation
  - croisement avec d'autres communautés : LPV, switché, etc

# Approche multimodèle pour l'estimation et la tolérance aux fautes

Marx

Centre de Recherche en Automatique de Nancy UMR 7039 CNRS - Université de Lorraine





